

11261

legajo
15

ESTUDIO DE VARIOS ANTIHISTAMINICOS
SOBRE EL SUEÑO ELECTROENCEFALOGRAFICO
DE LA RATA.

Tesis que presenta el alumno
Héctor Urcuiza Morín para
obtener el grado de Maestro
en Ciencias Biomédicas,
área de Farmacología.

Asesor Académico: Dr. José Antonio Rojas Ramírez

1986.

FALLA DE ORIGEN



UNAM – Dirección General de Bibliotecas Tesis Digitales Restricciones de uso

DERECHOS RESERVADOS © PROHIBIDA SU REPRODUCCIÓN TOTAL O PARCIAL

Todo el material contenido en esta tesis está protegido por la Ley Federal del Derecho de Autor (LFDA) de los Estados Unidos Mexicanos (México).

El uso de imágenes, fragmentos de videos, y demás material que sea objeto de protección de los derechos de autor, será exclusivamente para fines educativos e informativos y deberá citar la fuente donde la obtuvo mencionando el autor o autores. Cualquier uso distinto como el lucro, reproducción, edición o modificación, será perseguido y sancionado por el respectivo titular de los Derechos de Autor.

INDICE.

TITULO	1
RESUMEN	3
INTRODUCCION	4
HISTAMINA	5
ANTIHISTAMINICOS	31
HISTAMINA Y SUEÑO	39
ANTIHISTAMINICOS Y SUEÑO	42
OBJETIVOS	45
PLANTEAMIENTO DEL PROBLEMA E HIPOTESIS	46
MATERIAL Y METODOS	47
RESULTADOS	52
FIGURAS	61
DISCUSION	84
BIBLIOGRAFIA	91

RESUMEN

La sedación es un efecto secundario que ocurren con frecuencia producida en el humano. Este efecto suele ser más pronunciado en las personas con menor tiempo de latencia entre la administración del fármaco y su aparición clínica. La actividad de los electrodos o resistencias a PMT en ratas y conejos sometidos a este tratamiento es el efecto observado(FMS) en un experimento llevado a cabo por el Dr. J. E. Gómez y sus colaboradores en el Instituto de Biología de la Universidad de Valencia. Los resultados se basan en una serie de experimentos de sedación realizados con ratas y conejos sometidos a PMT en dosis de 100 a 300 mg/kg de PHT administradas en azúcar al 10% y 100% y 40 mg/kg de PMT administradas en azúcar al 10% y 100%. Luego se han visto los efectos de sometimiento a un día de habitación y a otra de restricción poligrafica de 6 horas continuas(9:00-15:00 h). Se calcula que se obtiene un efecto sedante si existe el tiempo de latencia de respuesta a sometimiento. Los resultados se presentan en máquinas de respuesta a latencia y también se visibilizan en PMT/FMS y en PMT/EMG. Se determinaron los tiempos latentes entre la administración de los fármacos y la respuesta EMG y FMS combinando las dosis de PMT. A nivel sometido se observa que las dosis de PHT 30 y 60 mg/kg de PHT inducen efectos de latencia moderadamente, a causa de un comienzo estacionario bastante lento que las dosis de 20 y 40 mg/kg de PHT determinan el FMS. La respuesta más rápida se observa en el conejo. En estos animales se observa la instalación de la respuesta de sedación a nivel poligrafico, esta transcurriendo de manera al de colapso galactico en medio de una actividad de variación con un estímulo de vigilancia para grupos individuales, causada por la acción de barbitúricos. Los dosis altas de PHT y las dosis intermedias y alta de PTA y PMT incrementan la visión y discriminación al sonido. La alteración del sonido se daña a una reducción del número y duración de ondas formadas secundariamente a la prolongación en forma dosis-doseidad de sus latencias. La modificación de estos parámetros por las dosis intermedias de PTA y PMT sugiere que estos fármacos afectan al sistema principalmente el núcleo SCN. Los datos muestran la PMT induce una alteración de actividad en el SCN y minimiza tanto la actividad de SCN como la actividad del SCN/PTA y se demuestra que tanto forma alterada. Efecto que dura alrededor de 3 horas con 20 mg/kg y más de 4 horas con 40 mg/kg y tiene actividad discriminadora a la respuesta circadiana. Los cambios producidos por el aumento en la actividad retiniana del núcleo SCN modifican el ciclo vigilancia-sueño al mismo efecto. Muy pocas interacciones por las dosis altas de los tres fármacos.

INTRODUCCIÓN

Las sustancias capaces de antagonizar las acciones de la histamina han sido de gran interés como agentes terapéuticos y de diagnóstico y como instrumentos de investigación. Incluso, los antihistamínicos denominados H-1 poseen un margen de seguridad relativamente amplio, se consiguen sin prescripción médica, son de uso común y se les da mucha publicidad.

Uno de los efectos colaterales de los antihistamínicos que más frecuentemente se ha reportado con su uso terapéutico es la sedación. Los investigadores clínicos están de acuerdo en que estos fármacos inducen sedación, pero la frecuencia con que se reporta el efecto es variable.

El efecto de sedación de los antihistamínicos dio origen a la idea de estudiar las alteraciones que estos compuestos pudieran provocar sobre los parámetros polisomnográficos del sueño en animales de laboratorio, concretamente en la rata.

En los primeros intentos de elaboración de un plan de trabajo para el manuscrito de la tesis, se hizo patente la necesidad de incluir a la histamina. En relación a ésta, se hace hincapié en su posible función como neurotransmisor en el cerebro del mamífero y en su participación en los mecanismos del ciclo vigilia-sueño.

INTRODUCCION

En cuanto a los antihistamínicos se mencionan algunas de sus acciones periféricas y centrales; de éstas últimas se destaca la sedación y se hace énfasis en sus efectos sobre los mecanismos del ciclo vigilia-sueño.

HISTAMINA

La histamina (HA) se identifica químicamente como 2(4-imidazolil)etilamina, 4-imidazoliletilamina, triimidazodietilamina, β -aminoetilimidazol o β -aminoetilgluoxalina (Stechers, 1983).

La HA, que primero se sintetizó y luego se le reconoció su actividad biológica, es una amina ampliamente distribuida en el reino vegetal y en el reino animal. En el mamífero las concentraciones más altas corresponden a la piel, mucosa intestinal, pulmones, basófilos, mastocitos, tejido de crecimiento rápido, células en regeneración y sistema nervioso central (SNC) (Boudrias, 1980).

Desde los inicios del presente siglo Bére y Laidlow (1910) describieron algunas acciones de la HA que incluían la estimulación del músculo liso y la dilatación capilar. Además asociaron las dosis altas con narcosis y sintomatología similar a la de los fenómenos alérgicos. Rovet et al., (1959) reportaron alteraciones reversibles en la presión sanguínea, el electrocardiograma y el electroencefalograma de la rata con dosis bajas de HA vía intravenosa. La broncoconstricción y el raro cardiovascular se presentaron con dosis altas y tóxicas.

HISTAMINA

En los estudios electrofisiológicos se observa una alteración en la permeabilidad de la membrana plasmática a los iones sodio y calcio luego de la aplicación de HA exógena, lo que se manifiesta entre otras acciones, por la depolarización del músculo liso que desencadena su contracción. En los estudios bioquímicos se ha correlacionado la acumulación de AMPc con algunos de los efectos de la amílica como son la estimulación de la secreción gástrica, la contracción cardíaca y la inhibición de la liberación de HA de basófilos (Doustaste 1980).

Por otra parte, las funciones de la HA endógena se explican por su liberación en la anafilaxia u en la alergia. Solamente nos referiremos a las reacciones inmunológicas tipo I, producidas por sustancias farmacológicamente activas liberadas por células de los tejidos como basófilos y mastocitos, después de la reacción entre el antígeno y el anticuerpo específico adsorbido a la membrana celular. En estas respuestas anafilácticas participan los anticuerpos reumáticos o hemocitotrópicos (Immunoglobulina E: IgE), inducidos por diversos antígenos como el polen, alimentos, medicamentos, etc. (Coons, 1973; Doustaste 1980; Wells, 1982).

El basófilo y el mastocito poseen receptores de membrana capaces de fijar una región de las moléculas de IgE. El antígeno específico se enlaza a estos moléculas y promueve un incremento en la permeabilidad de la membrana lo cual hace que se liberen sustancias activas almacenadas en los basófilos o en los mastocitos (Doustaste 1980; Wells, 1982). Las reacciones de tipo I involucran una serie de eventos bioquímicos intracelulares desencadenados por el enlace de los

HISTAMINA

moléculas IgE con el antígeno sobre la célula blanca se liberan aminas vasoactivas que incluyen a la HA, la sustancia de reacción lenta de la anafilaxia(SRS-A), el factor quimiotáctico eosinófilo de la anafilaxia(FCF-A), la serotonina, la heparina, los cininas y prostaglandinas, lo cual requiere de calcio (Douglas, 1980; Weiss, 1982). La liberación de aminas vasoactivas en donde participa el complemento es más constante y más rápida que la liberación por alerenos (Rudd et al., 1972).

Las manifestaciones clínicas de estos fenómenos pueden ser locales o generalizadas a los órganos blancos con los sistemas respiratorio y gastrointestinal, así como los vasos y la piel (Weiss, 1982). Asimismo el edema y el eructo que provocan estas reacciones se disminuyen con los clásicos antihistamínicos pero la hipotensión y el broncoespasmo no ceden con estos fármacos, posiblemente por la participación de la SRS-A en los dos últimos signos (Douglas, 1980).

Por otra parte, cabe señalar que la administración intraventricular de HA o su aplicación directa en el ventrículo cerebral, da origen a respuestas vegetativas, neuroendocrinas, conductuales y electroencefalográficas (Schwartz, 1977; Schwartz et al., 1980; Douglas, 1980).

LA HISTAMINA COMO TRANSMISOR EN EL CEREBRO DEL MAMIFERO

HISTAMINA

Se ha clasificado a la HA como "hormonio", esto es, dentro del grupo de sustancias normalmente presentes en el organismo con estructuras químicas y actividades farmacológicas diversas (Gaudiano, 1980). Sin embargo a la luz de estudios electrofisiológicos y bioquímicos se ha propuesto a la HA como transmisor en el cerebro del mamífero (Schwartz, 1975; Schwartz et al., 1974; Schwartz, 1977; Schwartz, 1979; Schwartz et al., 1980).

En el SNC del molusco *Aplysia californica*, la HA tiene una función neurotransmisora la cual se basa en la identificación de neuronas que sintetizan y almacenan HA, así como en la mimetización por parte de HA exógena de los receptores de células postsinápticas a su estimulación (Weinreich, 1977).

1. METABOLISMO DE HISTAMINA CEREBRAL.

A. Biosíntesis. Se piensa que los almacenos cerebrales de HA deriendan de una biosíntesis local, ya que ésta no se transporta de la sangre a cerebro. En el autor su formación se demuestra por la aparición de HA radiactiva en tejido cerebral luego de la perfusión intraventricular de histidina radiactiva (White, 1960). Los rebanados de hipotalamo de ratas incubadas con histidina tritiada acumulan el aminoácido por un proceso saturable y sintetizan tanto HA como metilhistamina tritiadas (Verdieri et al., 1974).

HISTAMINA

La formación de HA sigue una sola vía biosímica, la descarboxilación de su aminoácido precursor. Se puede ensayar la actividad de la enzima sintetizante de HA utilizando L-histidina no radioactiva (Taylor y Snyder, 1972a) o radiactiva (Baudry et al., 1973a) como sustrato en estudios radioenzimáticos capaces de detectar 0.01 ns de HA o histidina. Se han desarrollado microensayos sensativos a la HA: histidina descarboxilasa(HH) y histamina metiltransferasa(HM) que permiten determinar simultáneamente a estos compuestos en tejido cerebral con una considerable especificidad(Taylor y Snyder, 1972a). El microensayo ha hecho posible evaluar la concentración de HA en cerebro del mono (Taylor et al., 1972) y del humano (Lirinski et al., 1973), en donde las concentraciones más altas corresponden a neuronas magníferas del hipotálamo.

La inhibición de la formación de HA tritiatada en hipotálamo a partir de histidina tritiada producida por inhibidores de la histidina descarboxilasa, más no por alfa-metilindoles tanto *in vivo* (Taylor y Snyder, 1971a) como *in vitro* (Taylor y Snyder, 1972b; Verdieri et al., 1975) indica que la HA se sintetiza a través de la acción de una histidina descarboxilasa específica. La degeneración bioquímica de neuronas monoaminérgicas con 6-hidroxidopamina o serotoninérgicas con 5,7-hidroxicitrictamina no altera la biosíntesis de HA cerebral, ni tampoco reduce la actividad enzimática de la histidina descarboxilasa (Barbacid et al., 1972).

La distribución regional de la actividad enzimática de la histidina descarboxilasa(HH) en el cerebro de la rata está en relación a la HA es heterogénea y su actividad es alta en hipotálamo (Claytor y Snyder, 1972a). Las concentraciones más altas de HA y de la actividad enzimática de HH corresponden al hipotálamo ventral y posterior de la rata, aunque en la Eminencia media del hipotálamo existen altos niveles de HA y una baja actividad de HD (Pollard et al., 1976). Los estudios de localización de elementos subcelulares han confirmado la localización neuronal de la enzima HH, al indicar que una mayoría mayor(mitocondrial, sinaptosomal) y sobrepasante se localiza en el citoselma de terminales nerviosas corticales (Baudry et al., 1973a). La actividad enzimática de HH está menos asociada a terminales nerviosos en el hipotálamo de la rata, en donde se libera parcialmente en forma soluble (Snyder et al., 1974).

Como sucede con otras enzimas sintetizantes, la distribución subcelular de su actividad cambia de la fracción soluble en cerebro del recién nacido a la fracción sinaptosomal en cerebro de ratas adultas (Martres et al., 1975). Es más, en el cerebro fetal y neonatal de la rata se puede correlacionar la fluctuación en el contenido de HA con las del aminoácido precursor (Schwartz et al., 1971).

El que la HH se localice dentro de neuronas específicas del SNC se arova en los siguientes datos: su distribución es heterogénea en regiones cerebrales o en núcleos del hipotálamo (Pollard et al., 1976) y en tallo cerebral (Pollard et al., 1978); su presencia en terminales

nerviosas, similar a la de otras enzimas responsables de la síntesis de neurotransmisores (Baudry et al., 1973; Snider et al., 1974) y el paralelismo entre el patrón de desarrollo postnatal de la enzima en cerebro de la rata con la formación de terminales nerviosos (Schwartz et al., 1971; Raudrau et al., 1974) y la disminución significativa de la actividad enzimática luego de lesiones o desafferentaciones en regiones que se supone reciben impulsos histaminérgicos (Barbacid et al., 1974a). El análisis inmunohistoquímico fluorescente con H11 como marcador mostró la presencia de la enzima en el área ventricular del hipotálamo y en otras áreas del cerebro (Watanabe et al., 1984).

B. Almacen. Tanto por el método fluorimétrico en homogenizados cerebrales (Michaelson y Whittaker, 1962; Michaelson y Howe, 1964) como por el método de bioensayo en el fiso aislado del cohete (Carlini y Green, 1963), se ha encontrado HA en terminales nerviosos. La localización de elementos subcelulares muestra que la HA tritiatada se localiza en sinartrosomas (restos de terminales nerviosos) que pueden romperse mediante el choque osmótico liberando las vesículas sinápticas que contienen a los neurotransmisores excitativos (Snider et al., 1966; Katsova y De Robertis, 1967).

Por un lado, la HA endógena y la tritiada sintetizada a partir de histidina radiactiva se recuperan en fracciones que contienen sinartrosomas (Carlini y Green, 1963; Katsova y De Robertis, 1967) y por otro lado, las lesiones del Área hipotalámica lateral de ratas muestran que la HA tiene una localización dual en una vía neuronal ascendente y en mastocitos (Barbacid et al., 1976). Estos estudios

HISTAMINA

bioquímicos son evidencias indirectas de que la HA se encuentra dentro de neuronas.

Estos hallazgos, junto con la observación de que la enzima HN, se localiza en el citoplasmá de terminales nerviosos, sugieren que la síntesis y el almacenamiento de una fracción de HA cerebral se lleva a cabo en los mismos sitios de estructuras subcelulares, tal y como sucede con otros neurotransmisores.

Por otra parte, los mastocitos son la fuente principal de HA en tejido conectivo de órganos periféricos. En el parénquima cerebral, estas células se localizan alrededor de arterias y vérulas, lo que sugiere que la HA interviene en el control vascular en las respuestas hemodinámica, inflamatoria, de reparación de tejidos, de desintoxicación o del control metabólico de sulfatos y óxidos (Ibrahim, 1974). Se han identificado mastocitos en regiones cerebrales de distintas especies animales: en el ratón se encuentran en tallo e lóbulo posterior de la hipófisis (Adam y Huxley, 1964). En varios roedores, estas células se encuentran en estructuras diencefálicas, telencefálicas, mesencefálicas, metencefálicas o mielencefálicas (Droge, 1972). En la rata y en el conejo las áreas ricas en mastocitos corresponden a la corteza cerebral, talamo y el área de unión de los dos arcos moleculares de la formación del hipocampo y surus dentado (Ibrahim, 1974).

Aunque estas células son escasas en cerebro su alto contenido de HA puede contribuir significativamente en los niveles de HA, especialmente en áreas cerebrales como la eminencia media del hipotálamo de la rata (Follard et al., 1976). Es más se han encontrado en el hipotálamo y lertomeníngeos de diversos seres animales, incluidos el mono y el hombre; mastocitos que contienen HA (Romberg et al., 1973). Los microvesículas extraídas a partir de homogeneizados cerebrales del bovino o roedor tienen altos niveles de HA endógena y una baja actividad enzimática de HII. La cual es una característica de los mastocitos (Jarrat et al., 1979; Komashina et al., 1980).

Antes de que se formen muchas sinapsis en cerebro de la rata recién nacida existe un marcado contraste entre un alto nivel de HA (Schwartz et al., 1971; Yound et al., 1974; Martres et al., 1975) y una baja actividad de la HII (Schwartz et al., 1971; Martres et al., 1975). Lo que puede explicarse por el predominio del comportamiento de mastocitos antes de la maduración del SNC de la rata lo cual se apoya en el hecho de que las partículas que contienen HA sedimentan de una manera semejante a los gránulos de mastocitos (Martres et al., 1971).

El tamaño de los compartimientos de HA se pueden evaluar por el análisis de los datos de desorientación y de localización de elementos subcelulares. En corteza cerebral de la rata cerca del 50% de HA parece ser neuronal (Garfield et al., 1976), mientras que este porcentaje puede ser más alto en otras regiones como el hipocampo (Barbin et al., 1976). Por otro lado la enzima HII es de origen

HISTAMINA

neuronal, de ahí que su actividad enzimática sea un mejor marcador bioquímico de HA dentro de neuronas (Schwartz et al., 1980). Además la HD está más relacionada a la maduración neuronal que la HA (Schwartz et al., 1971).

C. Liberación. Un importante criterio establecido para un neurotransmisor es que se libere con la despolarización del tejido nervioso. El que la HA se libere de una célula nerviosa se hace en observaciones indirectas. En rebanadas de hipotálamo de ratas se libera HA endógena (Taylor y Snider 1973), HA tritiatada (Verdier et al., 1975) o HA exógena tritiatada (Subramanian y Mudler 1976) con la despolarización inducida por colásis lo cual es dependiente del calcio extracelular. Por otro lado, tanto en cerdos de rata neonatales (Roudry et al., 1974; Martres et al., 1975) como en cerdos de rata adulta (Verdier et al., 1975; Subramanian y Mudler 1976), el compuesto 48/80 libera HA del almacén no neuronal. Este fármaco(i.v.) derrota el 40% de HA en la eminencia media del cerebro de la rata sin alterar otras estructuras dentro de la barrera hematoencefálica (Pollard et al., 1976).

Algunos efecto electrofisiológicos registrados en células blancas por estimulación del haz protocerebral medial (HPM) se bloquen con metiamida, un antagonista H₂ de HA (Haas y Wolfe 1977). Por otra parte la exocitosis de estas neuronas da por resultado una fuente breve transitoria, elevación del contenido de HA en cortex cerebral (Gerhard et al., 1976) e hipocampo (Barbin et al., 1975). Estos datos sugieren que en áreas corticales la liberación de HA *in vivo* depende

HISTAMINA

del flujo de impulsos nerviosos en neuronas aferentes que se originan del haz protencefálico media).

D. Recambio. El recambio de HA en el cerebro de la rata se determinó al examinar las fluctuaciones en el curso temporal de la actividad específica de HA en relación al de histidina tritiada y luego de administrar el aminoácido precursor. La vida media de HA fue de 46 minutos (Pollard et al., 1974). En un estudio similar pero en ratones, la vida media de HA en un compartimento de recambio rápidos en cerebro, por ejemplo fue de 20 minutos; un tiempo menor que el estimado para cualquier órgano periférico (Urdiceti et al., 1977). En cerebro de ratas recién nacidas, la vida media de HA es del orden de varios días, como en los mastocitos (Martínez et al., 1975).

Por otro lado se sabe que los sistemas inmunoinfecciosos cerebrales se activan en situaciones de estrés y ha sido de interés determinar que tanto se modifica la actividad de las neuronas histamimérgicas en tales situaciones. Diversos cambios ambientales hacen variar la formación de HA cerebral: la immobilización y el frío reducen los niveles e incrementan importante mente la formación de HA radiactiva en el hipotálamo de la rata (Taylor y Snuders 1971a). Estos mismos factores disminuyen los niveles cerebrales de HA en el ratón (Taylor y Snuders 1972b). Posteriormente se reportó que la immobilización del ratón reduce rápidamente el recambio de HA en cerebro, sin alterar los niveles endógenos (Urdiceti et al., 1977); este efecto también se observó en animales adrenalectomizados, lo que indica que la reducción del recambio de HA en el ratón estresado no

fué secundaria a la estimulación adrenal.

Después de administrar hipnóticos y anestésicos el recambio de HA en el cerebro de la rata disminuye inmediatamente (Pollard et al., 1973a). En ratas anestesiadas con pentobarbital se observó una rápida y marcada reducción del recambio de HA cerebral evidenciado por la disminución de su síntesis y por su desacumulación sin alterar los niveles endógenos (Pollard et al., 1974).

Por lo contrario, el recambio de HA cerebral es más alto durante los períodos de vigilia de un ciclo de 24 horas (Orr y Russel, 1975). Incluso, los niveles más altos de HA en el núcleo caudado y en el mesencéfalo de ratas normales y adrenalectomizadas corresponden al tiempo en que la temperatura corporal y la actividad locomotora son máximas (Friedman y Walker, 1968).

E. Inactivación. Aparentemente no existe un proceso de receptores de alta afinidad que termine rápidamente con las acciones de HA en cerebro, pero como el recambio de HA es más rápido en este órgano, la inactivación puede ser por metilación (Schwartz et al., 1980). Tanto *in vivo* como *in vitro*, ocurre la metilación de HA en diversos tejidos, incluido el cerebro, de la rata y del caballo (Schauer, 1974).

Luego de la aplicación intraventricular de HA en cerebro del gato, ésta se convierte en metilhistamina o ácido metilimidazolacetico, mostrando que la N-metilación del anillo es la vía principal de su catabolismo (White, 1960). La vía metabólica responsable de la inactivación de HA en cerebro, involucra su

N-metilación a 3(tele)methylhistamina, seguida de una desaminación oxidativa a ácido 3-metilimidazolacético (Schaefer y Reijerse, 1973; Pollard et al., 1974). Recientemente, se confirmó que en cerebro de ratas recién nacidas u adultas la vía catalítica de HA es su metilación (Hough et al., 1982).

La metilación sigue a la liberación de HA de modo que su conversión disminuye al reducirse el contenido de HA por anestésicos (Pollard et al., 1973; Pollard et al., 1974). La metilhistamina carece de las acciones características de la HA en tejido cerebral, lo cual se consideró una evidencia de que la metilación es un proceso de inactivación (Haas et al., 1975).

En estudios de localización subcelular se ha visto que la histamina metiltransferasa (HMT) se encuentra en el fluido sobrenadante, aunque su actividad es menos localizada que la de histidina descarboxilasa (Snyder et al., 1974). La HMT utiliza a la S-adenosilmetionina como donador de metilos, lo cual se convierte en S-adenosilhomocisteína, un inhibidor competitivo de la reacción (Baudry et al., 1973b). Los estudios del desarrollo (Martres et al., 1975) y su presencia en líneas de células neuronales cultivadas en cultivo (Garbers et al., 1975) son indicativos de que la HMT se distribuye igualmente en varias clases de células cerebrales.

2. DISPOSICIÓN ANATOMICA DE VÍAS NEURONALES HISTAMINERGICAS.

HISTAMINA

Hace más de 40 años, Kwiatkowski (1943) postuló la existencia de "fibras histaminérgicas" luego de encontrar HA en tejido nervioso de varias especies animales, incluida la humana y que ensayó en el bien aislado, tiras traqueales y sobre la presión sanguínea.

Para el caso de las supuestas neuronas histaminérgicas se evalúa la disminución regional de HA o de su enzima sintetizante después de lesiones selectivas.

Las lesiones del haz protencefálico medial (HPM) permiten estudiar la vía histaminérgica que asciende hacia el hipocampos (*lo cual es evidenciado por la disminución de la actividad enzimática de la histidina descarboxilasa en la región del hipocampo (Schwarz et al., 1980)*). Además, una porción importante de la enzima se localiza en partículas que contienen terminales nerviosas (Baudry et al., 1973a).

El HPM constituye un paquete de fibras ascendentes noradrenérgicas y serotonínergicas (Garbars et al., 1974a). Los primeros intentos de encontrar evidencias de una vía sintetizante de HA no fueron muy demostrativos, ya que se utilizó el nivel de HA como marcador de cambios degenerativos, en vez de la actividad enzimática de la histidina descarboxilasa (Garbars et al., 1973). El análisis de los efectos de las lesiones unilaterales del HPM proporcionó la primera evidencia de una vía histaminérgica que se origina en el tallo cerebral y, a través del hipotálamo lateral, se difunde al telencéfalo (Garbars et al., 1974a). Una semana después de las lesiones, disminuyó ipsilateralmente la actividad enzimática de la histidina descarboxilasa en todas las áreas telencefálicas, mientras que las

HISTAMINA

regiones caudales no se afectaron en un proceso de degeneración anterógrada de fibras histaminérgicas presentes en el tracto. Las lesiones químicas o mecánicas del haz proporcionaron evidencias de una descarboxilasa específica responsable de la síntesis de HA en una vía ascendente, distinta a la de la monoamina en cerebro de la rata (Garbars et al., 1974h).

Las reducciones en la actividad enzymática de la histidina descarboxilasa, en la síntesis de HA tritiatada en el contenido de HA en la corteza de ratas lesionadas (interrupción del HPG) sugieren datos adicionales en favor de la existencia de un tracto ascendente histaminérgico e indica que el recambio de la amína depende del tráfico de impulsos en las terminales nerviosas (Garbars et al., 1976). La casi desaparición de la actividad enzymática de la histidina descarboxilasa tuvo de desfavorable la formación del hipocampo, sugiere que la síntesis de HA en esta región se realiza en terminales nerviosas extrínsecas (Herbin et al., 1976). Estos últimos autores concluyeron que los resultados de lesiones selectivas indican que las fibras histaminérgicas ingresan al hipocampo de la rata a través de una vía dorsal que comprende el fornix superior, la fimbria y el cíngulo y por una ruta ventral de fibras que se originan en la amígdala.

Sin embargo, algunos hallazgos sólo se explican por la presencia de células no neuronales que contienen HA en el cerebro. Tal es el caso de la elevación inesperada del nivel de actividad de la histidina descarboxilasa en el hipotálamo medio y posterior después de lesiones

HISTAMINA

mecánicas o electrolíticas en el diencéfalo de la rata (Krishnamoorthy et al., 1973).

Los estudios electrofisiológicos también son un aviso de la existencia de una vía histaminérgica ascendente que corre a lo largo del HPM y que difunde a telencéfalo. Los antagonistas H-2 de HA, metiamida, bloquean parcialmente las inhibiciones registradas en corteza cerebral e hipocampo por estimulación del HPM o del fornix (Haas y Wolf, 1977).

Otros estudios complementarios consisten en determinar la actividad enzimática de la histidina descarboxilasa, así como de los niveles de HA, en áreas restrinidas de regiones que contienen cuerpos celulares; el mapeo bioquímico del hipotálamo (Pollard et al., 1974) y del tallo cerebral (Pollard et al., 1978), muestra que ambos marcadores de distribuyen en forma heterogénea.

Por otra parte, se han analizado los datos de lesiones en un número grande de ratas con la ayuda de programas en computadora en los que se correlaciona la localización exacta del área lesionada (regiones del tallo cerebral y diencéfalo), con la disminución resultante de la actividad enzimática de la histidina descarboxilasa en áreas telencefálicas. De estos análisis surgen dos series de "áreas de lesión eficiente" de cuerpos celulares de neuronas histaminérgicas cerebrales: las neuronas de HA que se originan principalmente en la formación reticular mesencefálica y difunden a corteza cerebral y las neuronas de HA que se originan en cuernos magnílicos y difunden al cuero estriado (Schwartz et al., 1980).

También existen evidencias de una vía descendente histaminérgica que se proyecta a varios núcleos del tallo cerebral y junto con la vía ascendente con proyecciones al telencéfalo incrementaría las similitudes entre los sistemas histaminérgico y noradrenérgico en cerebro de la rata (Pollard et al., 1978).

Recientemente, en un análisis immunohistoquímico fluorescente con histidina descarboxilasa como marcador, se encontró que el sistema de neuronas histaminérgicas en el SNC de la rata se distribuye en el área posterior hipotalámica, así como en áreas tegmentales y caudales del cerebro (Watanabe et al., 1984).

3. RECEPTORES PERIFÉRICOS A HISTAMINA.

En el tejido periférico se han identificado dos clases de receptores a HA denominados H-1 y H-2 (Ash y Schild, 1966; Black et al., 1972). Los receptores H-1 están en relación a la contracción del músculo liso, un efecto bloqueado por los llamados antihistamínicos H-1 (Ash y Schild, 1966) y estimulado por la 2-metilhistamina (Douglas, 1980). Los receptores H-2 se relacionan a la secreción sástrica, un efecto bloqueado por los llamados antihistamínicos H-2 (Black et al., 1972) y estimulado por la 4-metilhistamina (Douglas, 1980). Los antihistamínicos H-1 no antagonizan el aumento de la frecuencia cardíaca, ni la contracción del útero de rata inducidos por HA (Schwartz, 1979).

HISTAMINA

Por otra parte, se han caracterizado subclases de receptores a HA en el cerebro del mamífero por medio del análisis de respuestas neurofisiológicas, bioquímicas y conductuales, así como con el uso de radiolisandos. Se ha sugerido que los receptores H-1 se acoplan a la translocación de iones calcio y los H-2 a uno adenilato ciclase sin embargo las respuestas electrofisiológicas y los estudios con radiolisandos sugieren la presencia de otro tipo de receptores (Schwartz, 1979). Este último investigador propuso que los receptores cerebrales de HA tal vez participen en la sedación que causan los antihistamínicos H-1 (por bloqueo de los H-1), en la actividad hipotensora de la clonidina (por estímulo de los H-2) y en la actividad antidepresiva de los antidepresivos tricíclicos (por bloqueo de los H-2). Sin embargo, los antidepresivos tricíclicos incrementan el AMP en homogeneizados del hipocampo un efecto mediado por los receptores H-2 (Green y Maavani, 1977).

La identificación de neuronas histaminérgicas en el SNC de los moluscos *Baix aspersa* (Kerkut et al., 1968) y *Aplysia californica* (Carpenter y Gershutz, 1975; Weinreich, 1977), son evidencias indirectas de que la HA desempeña una función mensajera a nivel central. Es más, se reportó la presencia de ambos tipos de receptores en la síntesis condicionada los H-1 participando en acciones facilitatorias y los H-2 en acciones desfacilitadoras (Brimble y Wallin, 1973).

A. Estudios farmacológicos. Las acciones biológicas de la HA requieren de la presencia de receptores que reconozcan la molécula mensajera. Su caracterización depende de fármacos selectivos que mimeticen o antagonicen las acciones de HA endógena. El desarrollo de estudios con agonistas y antagonistas surgió el concepto de dos clases de receptores a HA.

Para identificar el receptor que controla acciones de HA, debe considerarse que, por una parte, la acción se antagoniza competitivamente por una sola clase de antihistamínicos con una afinidad aparente comparable a las obtenidas en sistemas biológicos de referencia y que, por otra parte, la acción se mimetiza con varios agonistas, actuando con entonaciones relativas similares a las exhibidas en sistemas biológicos de referencia (Schwartz, 1979).

Los antihistamínicos H-1, administrados periféricamente a dosis bajas, bloquean selectivamente receptores cerebrales a HA (Bunck et al., 1980). Sin embargo, los estudios farmacológicos presentan algunos inconvenientes entre los que se incluyen a la propiedades de los antihistamínicos H-1 de estabilizar la membrana a la falla de un agonista H-1 potente y de alta selectividad y a la dificultad que tienen los antihistamínicos H-2 de atravesar la barrera hematoencefálica (Schwartz et al., 1980).

B. La histamina y el sistema AMPc. La HA es uno de los agentes más poderosos en cuanto a la estimulación de la acumulación del AMPc en rebanadas de varias regiones cerebrales, tales como de hemisferios cerebrales de pollo (Nahorski et al., 1974; Nahorski et al., 1977), de corteza cerebral, hipocampo y amígdala del cobayo (Chasin et al., 1973), corteza cerebral del conejo (Schultz & Deju, 1973; Hendriks et al., 1975). El contenido de HA en cerebro no se correlaciona a su respuesta del AMPc; en efecto, el hipocampo contiene una baja densidad de terminales nerviosas histaminérgicas y es la estructura que más responde en el cobayo (Chasin et al., 1973).

En homogeneizados de hipocampo del cobayo, se encontró una relación entre los receptores H-2 y la formación de AMPc (Hodgetts et al., 1976). En homogeneizados de cerebro del pollo, la estimulación de la formación de AMPc es mediada exclusivamente por los receptores H-2 (Nahorski et al., 1974). A nivel de los capilares cerebrales se demostró, mediante el uso de adenosinas y citoadenosinas H-1 y H-2, que la actividad de la adenilato ciclase es estimulada por HA a través de los receptores H-2 (Karnushina et al., 1980). Por lo contrario, se reportó la participación de ambos tipos de receptores en la estimulación de la adenilato ciclase en homogeneizados de hipotálamo de la rata (Portaleone et al., 1978).

En rebanadas del hipocampo del conejo, los antihistamínicos H-1 bloquen la inducción de la acumulación de AMPc por HA (Chasin et al., 1973). En rebanadas corticales de esta misma especie, se encontró que ambos tipos de receptores participan en el incremento de AMPc

cerebral, ya que los antihistamínicos H-1 (meclofenamina) o H-2 (nictiamida) inhiben un 50% este efecto (Baudry et al., 1975). A esta misma conclusión llegaron Rogers et al., (1975) y Palacios et al., (1978), utilizando agonistas e antagonistas de ambas clases de receptores. La respuesta del sistema de AMPc a HA en rebanadas de cerebro involucra la estimulación de ambas clases de receptores en forma secuencial por medio de cambios conformatacionales de los receptores H-2 que los llevan a exhibir características de los H-1 (Palacios et al., 1978). También se reportó una interconversión de receptores H-1 a H-2 dependiente de la temperatura en el fileo de cohayo (Kenakin et al., 1974).

Parece ser que células no neuronales también participan en la respuesta del sistema de AMPc a HA. En células de astrocitos瘤a humanos en cultivo, la HA induce acumulación de AMPc (Clark e Perkins, 1971) y una respuesta similar se encontró en fracciones ricas en células cerebrales (Joo et al., 1975).

La aplicación iontoporética de AMPc induce respuestas electrofisiológicas que mimetizan a la HA en neurones del tallo cerebral (Anderson et al., 1974). Esto hizo pensar en que el AMPc funcionaba como "segundo mensajero" en la transmisión histaminérgica de sinapsis cerebrales. Otros datos sugieren que la acumulación de AMPc inducido por HA se lleva a cabo en neuronas cerebrales; la respuesta del sistema AMPc a HA se suaviza con la microinjección de ácido kainico (Barbour et al., 1978), mientras que la actividad de la histidina descarboxilasa, un marcador presináptico, no se afecta (Barbin et al., 1976). Estos hallazgos son consistentes con una

localización del sistema de AMPc sensible a HA en neuronas postsinápticas. Sin embargo, no se ha establecido en qué medida el AMPc desempeña una función de segundo mensajero. El proceso de hipersensibilidad por denervación del SNC permite evaluar la función de segundo mensajero de la HA. Luego de la interrupción crónica del haz prosencefálico medial se desarrolla una clara hipersensibilidad de neuronas blancas de la corteza del coeyo a la HA aplicada ionotópicamente. Por lo contrario, la respuesta del sistema de AMPc a HA no se afecta en rebanadas de corteza (Nisimunes et al., 1976) o de hipocampo del coeyo (Hans et al., 1978).

Otra acción bioquímica de la HA a bajas concentraciones es la estimulación de la formación de GMPC tritiado a partir de dioxina radioactiva en cultivos de células neuroblastoma del ratón (Richelson, 1978a). La activación de los receptores H-1 en estas células incrementa el GMPC; un efecto bloqueado por los antihistamínicos H-1 y por varios antidepresivos tricíclicos (Richelson, 1978b). La HA también induce la formación de GMPC en rebanadas de ganglio simpático del bovino (Stude y Greenbard, 1978). En ambos casos la respuesta es mediada por los receptores H-1 u dependen del calcio externo. Es más, la HA induce acciones electrofisiológicas bifásicas en la sinapsis excitatoria, por lo que se propuso que las respuestas excitatorias (como las inducidas por agonistas muscarínicos) se asociaban al GMPC y a los receptores H-1, mientras que las respuestas inhibitorias (como las inducidas por dopamina) estaban asociadas al AMPc y a los receptores H-2 (Stude y Greenbard, 1978).

No obstante la HA aplicada por microinfusión sobre neuronas de la médula olfatoria caudal de la rata, produce una acción excitatoria, mediada por los receptores H-2 (Jones et al., 1983).

C. Acciones electrofisiológicas de la histamina. En estos estudios se ha mostrado que la HA tiene acciones excitatorias e inhibitorias sobre células nerviosas, aunque muchas de ellas no responden. La respuesta que más se registra es una inhibición del disparo en la corteza cerebral de la rata u del gato (Phillip et al., 1969; Huie & Bucher, 1975; Haas & Wolff, 1977), en la médula olfatoria del gato (Haas et al., 1973) o en el núcleo ventropedial del hipotálamo de la rata (Renaud, 1974) u en el área preóptica del coliné (Carette, 1978). Las respuestas excitatorias son menos frecuentes, pero también son abundantes en el hipotálamo (Huie et al., 1975; Renaud, 1974; Haas & Wolff, 1977; Carette, 1978). Entre las células excitadas se incluyen a las neuronas secretoras, las neuronas excitadas por estimulación del haz prosencefálico medial u las neuronas preópticas que se proyectan a la región de la Eminencia media situadas en estas se distinguen dos tipos de respuestas excitatorias con un curso temporal lento u rápido (Renaud, 1974; Carette, 1978).

Los mecanismos iónicos se han estudiado en la *Aplysia californica*, en donde dos receptores a HA, iónica y farmacotópicamente distintos controlan las respuestas hiperpolarizantes (Brenil y Weinreich, 1979) y los potenciales rápidos u lento son producidos por incremento en la conductancia a los iones cloro u sódio, respectivamente. En este molusco, Carewter y Gebarse (1975) reportaron la presencia de

HISTAMINA

receptores H-1 y H-2; cada uno asociado a un mecanismo de conductancia de sodio o potasio. Los antihistamínicos H-1(difenhidramina) antagonizan los efectos depresores y de excitación inducidos por HA (Phillis et al., 1968). Este antihistamínico bloques específicamente las acciones excitatorias de HA en cultivos de neuronas del hipotálamo (Geller, 1976). La metiamida, un antihistamínico H-2, aplicada por iontopfóresis, antagoniza tanto las respuestas depresoras inducidas por HA exógena como la inhibición de las neuronas corticales del hipocampo provocadas por estimulación del haz prosencefálico medial o del fornix (Haes y Wolf, 1977).

Sin embargo, es difícil de interpretar los efectos de los antihistamínicos con su aplicación iontopfótica ya que poseen la propiedad adicional de anestesia local (Schwartz et al., 1980).

D. Receptores a histamina y radioligandos. El desarrollo de estos estudios depende de ligandos tritiados que tengan selectividad por una sola clase de receptor. Este parece ser el caso de la meriramina tritiada(3HMPR) que marca receptores H-1 con una alta afinidad(rango nM), como inicialmente se demostró en homogeneizados de fílo de cebayo, en donde existe una relación entre las constantes de afinidad de los antihistamínicos, los sitios de unión y la inhibición de la contracción del fílo inducida por HA (Hill et al., 1977).

Asimismo, la 3HMPR marca receptores H-1 en fracciones particulares del cerebro de varias especies animales (Hill y Young, 1978; Hill et al., 1978; Cheng et al., 1978; Tran et al., 1978; Uzan et al., 1979; Hill et al., 1981). Las propiedades de estos sitios se

HISTAMINA

unión son muy similares a las del ilio e incluyen: estereoselectividad con enantiómeros de clorofeniramina y especificidad farmacológica. La distribución regional de estos sitios receptores de 3HMPR es heterogénea, varía entre las especies y aparentemente no se relaciona a marcadores de neuronas histaminérgicas (Hill et al., 1978; Chang et al., 1978; Tran et al., 1978; Chang et al., 1979). En efecto, el cerebrolo exhibe la densidad más alta en el cohueso (Hill et al., 1978), mientras que en la rata presenta la densidad más baja (Chang et al., 1978). En estudios de autorradiografía con 3HMPR se reportó una alta densidad de receptores H-1 en las capas moleculares del cerebelo y del gyrus dentado de la formación del hipocampo de) cohueso (Palacios et al., 1979).

Luego de la administración sistémica de 3HMPR se ocupan selectivamente receptores H-1 en cerebro del ratón vivo, lo cual presenta características de saturabilidad, distribución regional heterogénea, estereoselectividad y especificidad farmacológica (Quach et al., 1980). Esto significa que los receptores cerebrales a H-1, son ocupados después de la administración de muchos de los antihistamínicos H-1 a dosis terapéuticas. Estos últimos investigadores susirieron que la sedación causada por los antihistamínicos es atribuible a una inhibición de las acciones de HA endógena sobre los mecanismos de la visilia. Aunque también mencionan que la falta de inhibición de la unión de 3HMPR por parte de barbitúricos y benzodiazepinas sugiere que la sedación puede ocurrir por otros mecanismos diferentes al bloqueo de los receptores H-1 cerebrales.

HISTAMINA

Todos estos hallazgos sugieren que los neurotransmisores histaminérgicos, como las monoaminérgicas, podrían participar en varios procesos fisiológicos como en los mecanismos de la vasoconstricción, endocrinos, vasculares o metabólicos (Schwartz et al., 1980).

ANTIHISTAMINICOS.

Los agentes que bloquen a los receptores H₁ de la HA se clasifican en: etanolaminas, cuyo prototipo es la difenhidramina; etilenediaminas, cuyo prototipo es la piritramina; alkilaminas, cuyo prototipo es la clorofeniramina; piperazinas, cuyo prototipo es la clorociclicina; y fenotiacinas, cuyo prototipo es la prometacina (Douglas, 1980).

Inicialmente, las propiedades de los antihistamínicos se descubrieron a través de estudios farmacológicos, en los cuales se comparó su actividad antihistamínica. La obtención de comparaciones cuantitativas de las acciones de algunos antihistamínicos monoácticos aislados, permitió observar la especificidad del antagonismo a H₁.

Desde la década de los 40's se reportó que ciertas amidas con efecto antagonizaban a la HA en forma altamente específica; se antagonizó el efecto contractil de HA en el músculo intestinal del cobayo; se disminuyó el efecto depresor de HA y a dosis adecuadas, se aumentó la respuesta presora a epinefrina (Loew et al., 1946). También se reportó que la difenhidramina protegía al cobayo contra dosis letales de HA(i.v.) y que en el perro antagonizaba la acción depresora de HA, aumentaba la respuesta presora a epinefrina y bloqueaba la acción erasmosérgica de HA sobre el dudendo y útero. (Sherrod et al., 1947).

ANTIHISTAMINICOS

El efecto de potenciación adrenérgica se ha reportado en varias especies animales y con diversos antihistamínicos: en ratón y rata, con difenhidramina y clorofeniramina (Aceto y Harris, 1965; Jori, 1966); Issac y Roth, 1967); en el gato, con difenhidramina y prometacina (Innes, 1957); y en el perro, con clorofeniramina (Johnson y Kahn, 1966; Matsuda et al., 1980). Hallazgos que se explicaron por una inhibición de la cesteria de catecolaminas a nivel de la membrana neuronal, lo que lleva a su acumulación y da por resultado una respuesta potenciada(Issac y Roth, 1967; Matsuda et al., 1980).

Los antihistamínicos se empezaron a usar en el tratamiento de manifestaciones alérgicas en el humano (Feinberg y Friedlaender, 1947). Sin embargo, existen reportes de que estos compuestos pueden producir broncoconstricción en el humano ya que la difenhidramina, la clorofeniramina y la prometacina producen contracción de tiras aisladas del músculo liso traqueal del leónceo y del cohete a concentraciones que están dentro de los límites terapéuticos; también causan broncoconstricción en el duto espiral y en el perro anestesiado (Hawkins, 1955). En el gato filos estos mismos compuestos inhiben el proceso de liberación de H_A inducida por el antigeno a bajas concentraciones, pero liberan H_A a concentraciones altas (Lichtenstein y Gillespie, 1975). La protección que ofrecen los antagonistas de la H_A durante las reacciones de hipersensibilidad varía entre felidos y entre especies. En el humano, los antihistamínicos solamente se utilizan por sus efectos sobre la piel y mucosas (Dowdane, 1980).

ANTIHISTAMINICOS

Friedlaender et al., (1947) reportaron que varios antihistamínicos, química y farmacológicamente relacionados a la difenhidramina, protegían al cobayo contra dosis letales de HA por vía intravenosa. Asimismo, en una amplia revisión de la farmacología de los antihistamínicos se menciona que no solamente antagonizan los efectos excitatorios sobre el músculo liso inducidos por HA, sino que también bloquen sus efectos relaxantes e inhibitorios sobre el sistema vascular, ejercen una acción de anestesia local y evitan el choque inducido por HA en varias especies animales y disminuyen la respuesta cutánea a HA en el humano. Además, se menciona que las dosis altas produjeron hiperexcitabilidad, convulsiones, dormisión y muerte (Loew, 1947). Un año más tarde se reportó que los antihistamínicos antagonizaban la contracción del filo de cobayo, disminuían la frecuencia cardíaca del corazón de gatos y ratales y exhibían una acción de anestesia local en elplexo lumbar de la rana (Reuse, 1948).

El antagonismo competitivo se muestra *in vitro*(filo de cobayo) por el desplazamiento de la curva dosis-efecto a histamina e difenhidramina hacia la derecha, indicando una alteración en la afinidad del agonista por el receptor (Levitt, 1978). La inhibición competitiva se muestra *in vivo*(ratón anestesiado) por la respuesta vascular a los fármacos anteriores (Chan y Russell, 1956). Sin embargo, la acción de la difenhidramina no se limita a los receptores histaminérgicos, su estructura química similar a la de la atropina le permite antagonizar algunas acciones de la acetilcolina e imitar sus muchos efectos de la atropina e incluso producir un estado de

ANTIHISTAMÍNICOS

comienzando por otras acciones sobre el SNC (Levine, 1978).

Desde un principio se vió la importancia de llevar a cabo investigaciones con el objeto de modificar la estructura química de los compuestos, buscando mayor selectividad, disminuir los efectos colaterales e mejorar el índice terapéutico de la acción deseada. En este sentido, los análogos sustituidos cloro y bromo de antihistamínicos heterocíclicos son menos potentes en cuanto a inhibir algunas de las acciones de HA (contracción del ileo, broncoconstricción, efecto fatal en el cobayo, disminución de la presión sanguínea en el perro y sus efectos cutáneos en el humano), pero no producen diferencias significativas en su toxicidad (Lands et al., 1948).

También se han estudiado las relaciones entre la actividad antihistamínica, propiedades físicas y estructura química de los antihistamínicos. Marshall (1955) observó que dos factores determinaban la actividad antihistamínica: una cualitativa en que la estructura y la forma de la molécula determinan que tanto el compuesto es antagonista competitivo de HA. Otro cuantitativo, en que el grupo nitrógeno de la molécula ejerce un control de la potencia de inhibidores competitivos de HA. Este investigador encontró que la difenhidramina, la clorofeniramina y la prometacina antagonizaban competitivamente la HA. Netter y Bodenbach (1947) observaron que la actividad inhibitoria de la N-metilación de HA incrementa al substituir el hidrógeno de la posición para del anillo bencilo de los antihistamínicos por halógenos cloro y bromo. Ash y Schild (1946)

ANTIHISTAMÍNICOS

observaron que la posición de la cadena básica de análogos de HA era importante para la estimulación del receptor gástrico ya que la alteración del anillo imidazol disminuye este efecto, mientras que la modificación del anillo aromático provoca un efecto importante sobre la actividad de los receptores H-1.

Las modificaciones moleculares de los antihistamínicos no aumentan su toxicidad, pero sus potencias como antihistamínicos (protección contra dosis letales de HA; antagonismo de la contracción intestinal inducida por HA) varían hasta cierto punto (Winter, 1947; Roth y Govier, 1958). Es de especial interés la clorofeniramina, debido a su estereoisomería probada por autoradiografía en el cobayo, donde la acción antihistamínica fue altamente estereoespecífica y casi toda la potencia la ejercía el isómero (+), el cual mostró un margen de seguridad mayor de cien veces. Los isómeros mostraron un efecto similar sobre el SNC del perro y del gato, de estimulación general (Roth y Govier, 1958).

Por otra parte el antagonismo de HA a nivel central ha sido menos estudiado, pero la difenhidramina la clorofeniramina y la prometacina, incrementan la incidencia y la duración de la narcosis inducida por barbitúricos y otros hipnóticos en ratones y ratas sin embargo las dosis masivas de estos compuestos ocasionan una estimulación central manifestada por excitación, confusión e incoordinación motora en la rata (Heinrichs, 1953).

ANTIHISTAMÍNICOS

Varios antihistamínicos con estructura química y perfil farmacológico diferentes muestran actividad en pruebas antidepresivas de laboratorio, utilizadas para caracterizar agentes potencialmente depresivos del tipo de imipramina o Amitriptilina. Así, en un estudio sobre las relaciones entre la actividad antihistamínica, la inhibición de la captura de catecolaminas u la actividad antidepresiva se encontró que la clorofeniramina antagonizó la ataxia salicálica inducida por tetrahexamina en el ratón. La conducto muricida de ratas u la hipotermia inducida por reserpina en ratas especiales. Por lo contrario, la prometacina (sin actividad en las pruebas anteriores) fué la que más potenció la acción estimulante de la metenfetamina (Bergott et al., 1969).

Aunque no se conoce bien el mecanismo de las acciones centrales de los antihistamínicos, se sabe que modifican el metabolismo cerebral de HA. La clorofeniramina u la prometacina incrementan la concentración de HA radioactiva en cerebro del gato (Adam & Hsu, 1966). Estos mismos compuestos inhiben la formación de AMP cerebral inducido por HA (Classen et al., 1973; Pollard et al., 1973). La administración intraperitoneal de muchos antihistamínicos, previa administración intraventricular de histidina tritada, incrementa la concentración de HA y metilhistamina tritadas en cerebro de ratas (Pollard et al., 1973b).

La modificación del metabolismo cerebral de HA puede deberse a que los antihistamínicos incrementan el contenido de HA por bloqueo de receptores histamínicos cerebrales, como lo demuestran estudios

ANTIHISTAMÍNICOS

electrofisiológicos (Krnjevic & Phyllis, 1963) o con la disminución de la inactivación de HA debido a la inhibición de la histamina metiltransferasa (Notter & Roderichatz, 1967).

Las dosis bajas de prometacina y difenhidramina en contraste con las de clorofeniramina, ejercen una acción antiserotoninica central en el ratón, es decir en la cual las dosis altas de prometacina disminuyen la actividad locomotora y reducen el tono muscular, mientras que las dosis altas de clorofeniramina y difenhidramina incrementan la actividad locomotora, producen temblores y convulsiones (Roth et al., 1981). También se reportó que la clorofeniramina y la difenhidramina bloquen la visión conductual inducida por HA intraventricular tanto en la rata conciente como en la tratada con pentobarbital (Kalivas, 1982).

Douglas (1980) menciona que la difenhidramina posee actividad antimuscarínica y tendencia a producir sedación, que la clorofeniramina estimula el SNC y que la prometacina exhibe actividad anticolinérgica y sedativa.

En el humano se ha reportado que los antihistamínicos alteran la función nerviosa central, cuya severidad y tiempo de aparición varía entre sujetos y fármacos. En muchos de ejecución, la prometacina y la clorofeniramina alteran significativamente la coordinación motora (Molson et al., 1966; Larde et al., 1971; Cooke & Nicholson, 1978). Alteraciones que también se observan con bromofeniramina (Nicholson, 1979; Sappala et al., 1981).

ANTIHISTAMÍNICOS

Por otra parte se han venido correlacionando las dosis terapéuticas de los antihistamínicos a dos tipos de efectos colaterales: la sedación, referida como somnolencia o el anticolinérgico, referido como ressequedad de mucosas. La frecuencia con que se reporta la sedación deriva de observaciones subjetivas y cualitativas, pero desde hace cerca de 40 años se ha venido asociando el uso clínico de estos compuestos con la sedación (Friedlbers y Friedlsender, 1947; Hughes y Forney, 1964; Lilienfield et al., 1976; Crutcher y Kentner, 1981; Rickels et al., 1983). Aunque se ha reportado que la sedación desaparece durante tratamientos prolongados (Newlands, 1980).

También existen evidencias clínicas, obtenidas por medio de técnicas subjetivas e objetivas, que demuestran que la difenhidramina es un hipnótico efectivo en comparación con el placebo (Teitelbaum et al., 1975; Sunshine et al., 1978; Rickels et al., 1983). Otros investigadores han reportado una correlación positiva entre los niveles plasmáticos de difenhidramina y sus efectos antihistamínicos y de sedación (Carruthers et al., 1978). Incluso, los métodos polisráficos han confirmado que este compuesto induce sedación y acorta la latencia al sueño, pero muestra poca actividad como hipnótico (Roehrs et al., 1984).

La propiedad que muestran los antihistamínicos de producir sedación es difícil demostrarla con estudios conductuales, pero diversos datos experimentales apoyan la hipótesis de que este efecto colateral se debe a un antagonismo de histamina liberada a partir de

ANTIHISTAMINICOS

neuronas cerebrales; a) la presencia de receptores cerebrales H-1 (Hill et al., 1978); b) la presencia de una vía histaminofásica ascendente que sugiere su intervención en la regulación de la vigilía (Garbers et al., 1974a); c) la inhibición por antihistamínicos, de la reacción de vigilía electroencefalográfica y conductual inducida por histamina intraventricular (Monnier et al., 1970; Kalivani 1982); e d) la activación de receptores cerebrales de histamina H-1 en ratones vivos, luego de la administración de dosis terapéuticas de varios antihistamínicos (Quach et al., 1980).

HISTAMINA Y SUEÑO.

Desde hace más de 25 años se reportó que las dosis bajas de histamina, administrada por vía intravenosa, producían en la rata una acción central caracterizada por una desincronización del electroencefalograma(EEG) cortical semejante a la observada por estimulación sensorial, pero más prolongada (Bovet et al., 1958). El análisis cuantitativo del EEG sirve para estudiar las propiedades estimulantes de la histamina (Ridderink et al., 1963). Este grupo de investigadores encontró que la activación electrocortical inducida por histamina intravenosa se bloquaba con prometacina; efecto que no se atribuyeron a la liberación de catecolaminas ya que también se observó en animales tratados con fenotilbenzamina, un bloquador de las acciones estimulantes centrales de la anfetamina o de la norepinefrina.

Otro grupo de evidencias experimentales señalan que: la infusión intravenosa de histamina produce una reacción EEG de despertar, a pesar de no atravesar la barrera hematoencefálica; el efecto de vigilia se acompaña de un incremento en el primer componente de los potenciales provocados telamocorticales e hipocampos-corticales, mientras que el segundo componente se debilita; el efecto de vigilia inducido por histamina es semejante al provocado por anfetamina; la administración intraventricular de histamina induce un efecto de desincronización EEG; los antihistamínicos, sin efectos sobre el EEG, desarrollan respuestas hipnóticas con actividad ansiolítica débil si

HISTAMINA Y SUEÑO

la concentración de una sustancia semejante a la histamina en hemodializados de conejos mantenidos despiertos por estimulación eléctrica del sistema reticular activador del mesencéfalo es mayor, mientras que es menor en hemodializados de conejos mantenidos dormidos por estimulación eléctrica del centro-tálámico hipnogénico. A partir de este serie de experimentos Monnier et al. (1970) pudieron que el efecto de desactivar de la histamina, expresada por la disminución de las actividades delta en corteza o incremento del potencial provocado talamocortical es mediado por el sistema reticular activador ascendente y sus proyecciones a corteza a través del talamo intralaminar.

Por otro lado, la infusión intraventricular de histamina induce una activación cortical del EEG que está aparentemente ligada a la ocurrencia de sueño, pero la inyección intraventricular de mianserina, un antihistamínico H-1, curra la ocurrencia y la activación del EEG, el cual se sustituye por una marcada sincopización (Wolf e Monnier, 1973). Este efecto concuerda con la depresión neuronal que produce la histamina al aplicarla ionotópicamente (Haas et al., 1973).

Las similitudes entre la vía histamínica y la monoamínica sugieren que la primera también podría participar en los mecanismos de la vigilia (Schwartz et al., 1980). Es más, la histamina induce vigilia conductual, cuando se administra intraventricularmente un efecto bloqueado por antihistamínicos H-1, lo cual indica que la histamina tiene una función en el control de la vigilia conductual y sugiere que la sedación causada por los antihistamínicos se debe al

HISTAMINA Y SUEÑO.

bloqueo del sistema de vigilia (Kaliwani, 1982).

Asimismo, la identificación de una vía histaminérgica que se proyecta hacia telencéfalo y que se origina en la formación reticular mesencefálica (Herbards et al., 1974; Martin et al., 1976), la disminución del recambio de histamina por parte de hipnóticos y anestésicos (Pollard et al., 1973; Pollard et al., 1974), la inducción de vigilia EEG e conductual por administración intraventricular de histamina (Monnier et al., 1970; Wolf e Monnier, 1973; Kaliwani, 1982), la sedación causada por los antihistamínicos H-1 (Gaudreault et al., 1975; Carruthers et al., 1978), las fluctuaciones circadianas de los niveles y síntesis de histamina en cerebro (Friedman y Walkers, 1968; Orr y Quay, 1975) y la presencia de receptors cerebrales H-1 (Hill et al., 1978; Uzan et al., 1979; Ursch et al., 1980) son datos que sugieren que las neuronas histaminérgicas cerebrales participan en los mecanismos de la vigilia. Recientemente se propuso que el sistema histaminérgico interviene en el balance entre la vigilia(los antihistamínicos H-1 reducen la vigilia) y el sueño de ondas lentas (los antihistamínicos H-2 aumentan las ondas lentas), en donde parece que los sistemas H-1 y H-2 tienen una función complementaria en el control de los procesos del sueño (Nicholson et al., 1985).

ANTIHISTAMÍNICOS Y SUEÑO.

ANTIHISTAMINICOS Y SUEÑO

Es bien conocida la observación clínica de que los antihistamínicos H-1 poseen propiedades sedativas moderadas (Carruthers et al., 1978). Tanto en animales de laboratorio (Heinreich, 1953) como en el humano (Hathes y Farney, 1944), estos compuestos potencian los efectos de barbitúricos.

Por medio del análisis cuantitativo del EEG se ha intentado caracterizar y medir grados de sedación. Por ejemplo Rohrstein et al. (1968) clasificaron las potencias sedativas de algunos antihistamínicos en voluntarios sanos: la difenhidramina y la Prometacina produjeron sedación de "baja energía" (disminución de la amplitud del EEG y aumento en el coeficiente de variación), mientras que la clorofeniramina produjo sedación de "alta energía" (aumento en ambos parámetros). Es más, en estudiando calificación doble ciego, la Prometacina mostró un efecto supresor del sueño NRE en relación a la dosis, con una disminución más grande con la dosis alta y un incremento en la latencia de esta fase de sueño juntó con una reducción del número de sus períodos (Rishert et al., 1975). Asimismo, se ha reportado que la difenhidramina provoca somnolencia y acorta la latencia al sueño (Rohers et al., 1984). Otros antihistamínicos, bromofeniramina, reducen el sueño NRE en el humano, lo cual se atribuyó a su actividad macoliminerica más que a su actividad histamínerica (Nicholson et al., 1985).

Por otra parte, en animales de laboratorio, la Prometacina incrementa el sueño de ondas lentas en una relación dosis-dependiente en el gato y las dosis altas disminuyen el sueño NRE dentro de 15

ANTIHISTAMINICOS Y SUEÑO

disminución del número de estos episodios (Jewett, 1968; Jewett, 1971). La difenhidramina y la clorofeniramina incrementan significativamente la somnolencia, prolongan la latencia al sueño NOR y disminuyen tanto los períodos como el sueño NOR en el perro (Wauquier et al., 1981). Estos últimos investigadores atribuyeron los efectos sobre el sueño no NOR al bloqueo de los receptores H-1 cerebrales y los efectos sobre el sueño NOR a las propiedades anticolinérgicas de los antihistamínicos. Adicionalmente la vigilia conductual inducida por histamina intraventricular se bloquee con el pretratamiento a base de difenhidramina y clorofeniramina (Kaliwas, 1982).

OBJETIVOS:

1. Identificar y caracterizar los efectos fisiológicos y conductuales que una dosis media una intermedia y una alta de tres antihistamínicos pudieran tener sobre el modelo del latido de sueño-vigilia diurno de la rata.
2. Comparar los efectos que sobre el modelo mencionado pudiera producir el prototípico de varios grupos de antihistamínicos: la difenhidramina de las etanolaminas, la clorofeniramina de las alquilaminas y la prometacina de las fenotiacinas.

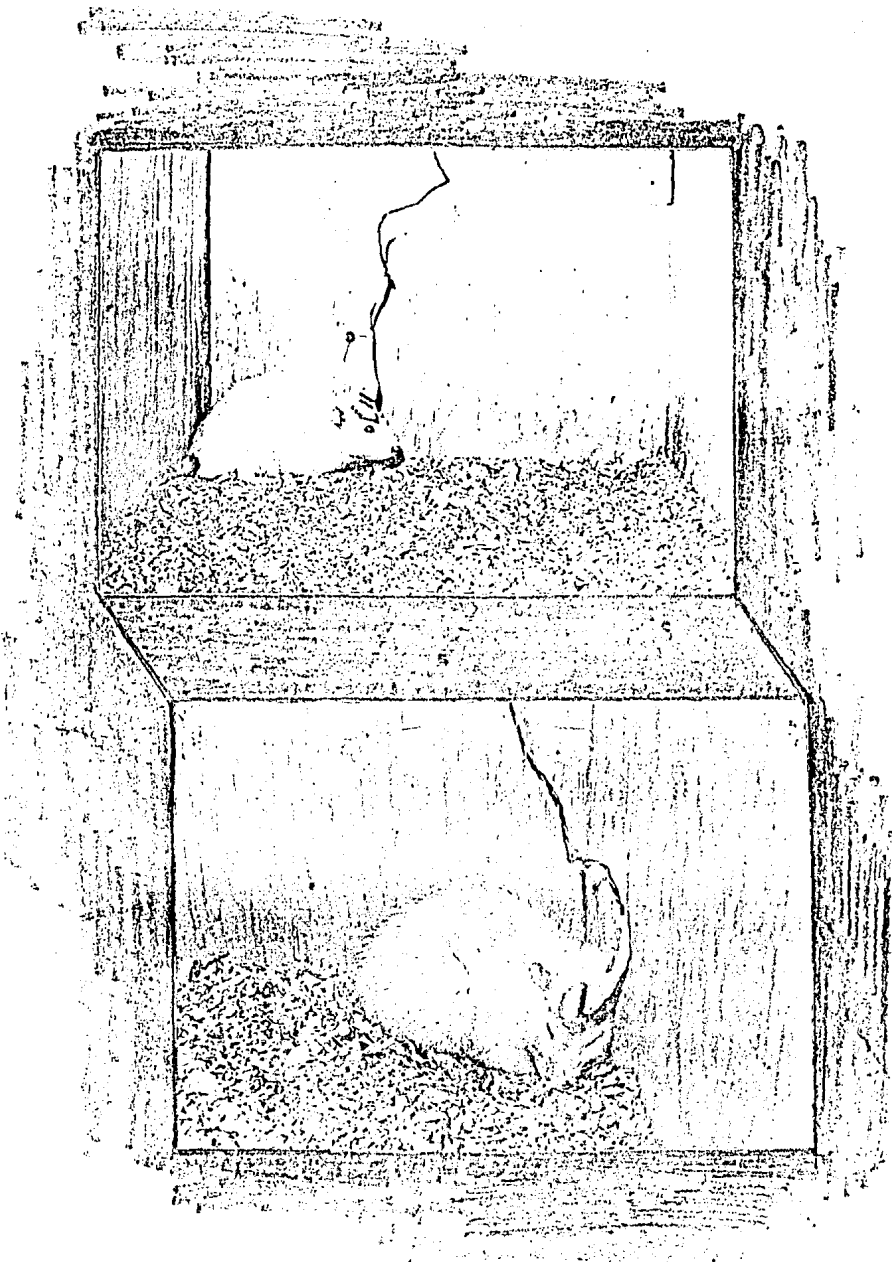
PLANTEAMIENTO DEL PROBLEMA E HIPÓTESIS.

Por una parte, existe evidencia experimental que muestra la participación de la histamina en el proceso de activación electroencefalográfica(EEG), que se traduce en un desrhythmo. Por otra, algunos antihistamínicos son capaces de producir un efecto de sedación y de inducir sueño en el humano, lo cual se considera un efecto colateral.

No obstante lo anterior, los estudios sistemáticos en modelos animales sobre los efectos de los antihistamínicos en los estados de la vigilancia son escasos y con resultados inconsistentes.

Estas consideraciones surgen las siguientes hipótesis:

1. Si la histamina provoca desincronización EEG o vigilía conductual, entonces el bloqueo de sus acciones por antihistamínicos impedirá la desincronización, o bien, inducirá sincronización EEG y sueño conductual.
2. Si los antihistamínicos H-1 muestran efectos sedantes en el hombre y provocan somnolencia e disminución del sueño MOR en el gato y en el perro, entonces producirán efectos semejantes en la rata.
3. Si el patrón de sueño-vigilia se modifica por los antihistamínicos, entonces prototipos de varios grupos químicos de estos compuestos provocarán cambios parecidos que los caractericen.



MATERIAL Y METODOS

1. Sustancias

Las sustancias utilizadas en estos experimentos fueron: Clorhidrato de difenhidramina (Pratex Novis), maleato de clorofeniramina (Scherstex) y Clorhidrato de prometacina (Rhône Poulenc Pharma).

2. Pruebas previas

Con el propósito de seleccionar las dosis que se emplearían en los experimentos, los fármacos se diluyeron en solución salina para administrarse intraperitonealmente con dosis a dos ratas en diferentes variaciones de dosis. Esto se llevó a cabo en animales a los cuales se les habían implantado electrodos. El criterio de selección de las dosis se basó en un perfil conductual grueso en el transcurso de cuatro horas; cada diez minutos se anotó si los ratas estaban desiertas (en movimiento o quietas con ojos abiertos) o dormidas (ojos abiertos o cerrados) y la presencia de movimientos incompatibles. El vehículo se administró a razón de 1 ml/kg mientras que las dosis empleadas de los distintos antihistamínicos fueron las siguientes: 4, 8, 12, 36, 34 u 10 mg/kg de difenhidramina; 4, 8, 12, 24, 36 u 72 µg/kg de clorofeniramina; y 4, 8, 24 u 72 µg/kg de prometacina. Una de las observaciones con estas dosis se escogieron las dosis de 4, 12 y 36 mg/kg de difenhidramina; 10, 36 u 40 µg/kg de clorofeniramina; y 10,

MATERIAL Y METODOS

20 a 40 ms/kg de Prometacine.

3. Animales

Se utilizaron un total de 96 ratas Wistar machos adultos, de aproximadamente 250 g de peso, a los cuales se les implantaron electrodos a permanencia para el registro electroencefalograma del ciclo visilia-sueño.

4. Implantación de electrodos

Cada rata se anestesió con pentobarbital sódico (35 mg/kg, i.v.) y se inmovilizó del cráneo en un aserrado esterilizado. Después de resar la cabeza y de desinfectar la región con borotalco, se hizo una incisión sobre la línea media de los planos blandos de la cabeza y se denudó la bóveda craneana. Posteriormente se hicieron tres empuques trépanos para colocar electrodos de tornillos de acero titanílico que solo penetran el esqueleto del cráneo uno anterior para hacer una conexión a tierra y otros dos en las regiones simétricas de la corteza parietal (2 a 3 mm de la línea parietal), para el registro del electroencefalograma (EEG). Otros dos electrodos de alambre de cuño lacado se anclaron a los músculos antiguillitatorios de la nuca, para el registro del electromiograma (EMG). Los cinco electrodos se hacen converger a un conector de plástico que se fija en forma permanente al cráneo, por medio de scritton dental.

5. Resistro

MATERIAL Y MÉTODO

Los animales se colocaron en cellos individuales equipados con luz artificial. Los ratones estaban montados en la pared de un circuito someroesortisado, también iluminado con luz artificial. Luego de cuatro días de recuperación de la cirugía los ratos se colocaron en sus cajas con un cable de baile impedancia conectado a los electrodos por un periodo de más de seis meses para el适应 (adaptación) de que se hablieran a las condiciones experimentales. Al siguiente día se registraba el EEG o el EMG por medio de un amplificador Grado 700, calibrado a 50 microvoltios de amplitud a una velocidad de 200 mm por segundo durante seis horas continuas (09430 a 15130 ms aproximadamente). Antes de iniciar los registros los animales se inyectaban con el vehículo o con la solución de la dosis del antihistamínico correspondiente.

6. Estandarización experimental

Se utilizaron 32 ratas para cada sustancia. Considerando cuatro grupos de ocho animales y con la ayuda de una tabla de números aleatorios, los ratos se asignaron a cuatro condiciones experimentales; vehículo (una dosis baja, una dosis intermedia o una dosis alta. La administración se hizo por vía intraperitoneal y las dosis empleadas fueron: 40, 12 y 36 mg/kg de difenidramina; 10, 30 y 60 mg/kg de clorofeniramina; o 10, 20 y 40 µg/kg de prometacina. El vehículo fué solución salina 1 ml/kg.

7. Lectura de los registros

MATERIAL Y METODO

Los registros se categorizaron visualmente en intervalos de un minuto y se analizaron bajo los siguientes criterios relativos: Visilia, voltaje bajo y actividad rápida del EEG y actividad del EMG; Sueño sin movimientos oculares rápidos o sueño no MOR, voltaje alto y actividad lenta del EEG y reducción o ausencia de actividad del EMG; Sueño con movimientos oculares rápidos o sueño MOR, voltaje bajo y actividad rápida del EEG y ausencia en la actividad del EMG.

El tiempo total de sueño es la suma del sueño no MOR y sueño MOR, el tiempo de los tres ratados se expresa en minutos, si se obtiene la siguiente información concerniente a los ratados de la visibilidad: visilia, sueño no MOR y sueño MOR: tiempos totales, número y duración, licencia de visilia intermitente(tiempo sin visilia luego del primer episodio de sueño no MOR), latencias entre las fases de sueño, cambios de fase, ciclos de sueño MOR(que entre episodios de sueño MOR no haya más de un minuto de visilia) y sorprendencias.

8. Perfil conductual

Cada media hora y durante las seis horas de registro, se hicieron observaciones de la conducta a través de una ventana en las cajas de registro y se anotó la estructura (la actividad salteante), la actividad locomotora y la frecuencia de movimientos anormales de cada rata. Posteriormente se determinó la frecuencia y la proporción de animales despiertos(en movimiento o quietos con ojos abiertos) y dormidos(echadas rumiando o dormidas) cada media hora, obteniéndose un perfil conductual durante el curso temporal de las horas de

registro.

9. Análisis estadístico

Se utilizó una análisis de varianza(ANOVA) para el modelo con un criterio de clasificación en grupos independientes, seguido por una prueba de Dunnett(dr dos colas) para comparar los fármacos/dosis de los fármacos con el de solución salina.

RESULTADOS.

PERFIL CONDUCTUAL EN LAS PRIMERAS PRUEBAS

Con solución salina, los animales adoraron la posición de sueño dentro de la primera hora.

Las dosis menores de 30 mg/kg de difenidratrina no causaron alteraciones aparentes a los ratas adoraron la posición de sueño durante la primera hora. Con 36 mg/kg hubo balanceo continuo de la cabeza y la postura de sueño se instaló cerca de las dos horas. Con 50 mg/kg hubo incremento en la actividad locomotora, marcha irregular, balanceo constante de la cabeza y la instalación de la conducta de sueño se presentó luego de las tres horas.

Las dosis menores de 30 mg/kg de clorofeniramina no causaron alteraciones aparentes a los animales adoraron la conducta de sueño en la primera hora. Con 36 mg/kg hubo incoordinación motora con predominio en el tren posterior y la conducta de sueño se instaló luego de la tercera hora. Con 72 mg/kg hubo hiperactividad con el tren posterior de luchar, balanceo continuo de la cabeza, por ese orden de dos horas y la conducta de sueño se instaló hasta la cuarta hora.

Las dosis menores de 10 mg/kg de prometacina no causaron alteraciones conductuales a los animales adoraron la conducta de sueño durante la primera hora. Con 24 mg/kg hubo inmovilidad con extremidades extendidas durante aproximadamente media hora y la

RESULTADOS

conducta de sueño se instaló luego de la segunda hora. Con 22 mg/kg hubo una inmovilidad más profunda, con las extremidades también extendidas, ojos semicerrados y la conducta de sueño no se presentó en las cuatro horas de observación.

PERFIL CONDUCTUAL CON LOS DIVERSOS TRATAMIENTOS

A. Conducta luego del testamieito con solución salina. El perfil conductual de los tres grupos control fué más parecido más de la mitad de los animales se durmió en la primera hora manteniéndose así hasta el final del registro. En general, luego de ser colocadas en sus cajas, las ratas se acicalan, se lamean, se ruedan, arrietan, se echan y se duermen. Es más al duchar las observaciones conductuales, en términos de si los animales despiertan o están dormidos, de las 24 ratas tratadas con solución salina (fig. 1) se observa que a la hora más de la mitad duermen, postura que van tomando la mayoría de las ratas en el transcurso del tiempo de tal manera que a la sexta hora solamente dos ratas se encuentran despiertas.

B. Conducta luego de los tratamientos con difentidiazina. (fig. 2). Con 4 y 12 mg/kg, el perfil conductual fué similar al de solución salina. Con 36 mg/kg, las ratas presentaron trastorno continuo de la cabeza por alrededor de dos horas y más de la mitad de los animales permanecieron despiertos por espacio de tres horas.

C. Conducta luego de los tratamientos con clorofeniconina. (fig. 3). Con 10 mg/kg, el perfil conductual fué parecido al de solución salina,

RESULTADOS

Con 30 mg/kg, hubo hipermotilidad en la mayoría de los ratas y tres presentaron balanceo continuo de la cabeza en los primeros 30 minutos y predominó la proporción de animales desiertos por más de tres horas en que se igualó y luego se invirtió al final de las observaciones. La dosis de 60 mg/kg, provocó por cerca de dos horas balanceo continuo de la cabeza en todas las ratas e incluso tres se mantuvieron inquietas y con sobresaltos y siempre hubo una predominio de animales desiertos durante el tiempo de observación.

B. Conducta luego de los tratamientos con acetometáfina. (fig. 4). Con 10 mg/kg, el perfil conductual fue similar al de solución salina. Con 20 mg/kg, hubo inmovilidad en la mayoría de las ratas y tres presentaron sacudidas leves y rotundadas de la cabeza o más de la mitad de los animales permanecieron desiertos durante tres horas, proporción que se igualó y se invirtió hasta las tres horas y media. Con 40 mg/kg, hubo una inmovilidad más prolongada en todas las ratas, cuyas extremidades permanecían estiradas, sacudían esporádicamente la cabeza y los rostrados permanecían semicerrados, minimamente en las primeras tres horas de observación.

PARAMETROS POLIGRAFICOS

A. Cambios soliomórficos con la administración de difenhidramina. Por medio del análisis de varianza se detectaron cambios significativos en los tiempos totales de vigilia y sueño, en el tiempo latencies y número de períodos de sueño no MOR y sueño MOR y en el número de

RESUMEN

cambios de fase ($F>8.07$, $P<0.001$), ciclos de sueño MOR ($F=5.40$, $P<0.01$) y duración de los períodos de sueño MOR ($F=4.85$, $P<0.02$). No hubo modificaciones en el tiempo de vigilia intermitente, en el número o duración de los períodos de vigilia, ni en la duración de los períodos de sueño no MOR ($F<1$, $P>0.05$).

El análisis de varianza fue seguido por la prueba de Tukey-BK para comparar los promedios de las tres dosis de difenhidramina con el de solución salina: La dosis alta aumentó el tiempo total de vigilia($P<0.001$) y disminuyó el tiempo total de sueño($P<0.01$) (fig. 5). Con estas dosis se disminuyeron el tiempo de sueño no MOR ($P<0.01$) y el tiempo de sueño MOR($P<0.05$) (fig. 6). La latencia de sueño no MOR se alargó con la dosis alta($P<0.001$), mientras que la del sueño MOR se alargó con la dosis intermedia($P<0.05$) y con la dosis alta($P<0.001$) (fig. 7). El número de períodos de ambas fases de sueño se redujo con la dosis alta($P<0.01$) (fig. 8). El número de cambios de fase también se redujo con la dosis alta($P<0.01$), mientras que el número de ciclos de sueño MOR se incrementó con la dosis baja($P<0.05$) (fig. 9).

La distribución porcentual de los tres estados de la vigilancia muestra un incremento en la vigilia y una disminución en ambas fases de sueño con la dosis alta de 36 mg/kg (fig. 10).

B. Cambios soliználicos con la administración de clorofeniramina. Por medio del análisis de varianza no encontraron diferencias significativas en los tiempos totales de vigilia o sueño en los

RESULTADOS

tiempos, latencias e números de períodos de ambas fases de sueño en la duración de los períodos de sueño MOR, así como en los números de cambios de fase y ciclos de sueño MOR ($F>8.07$, $P<0.001$). También fueron diferentes el número($F=2.48$, $P<0.002$) y duración($F=7.08$, $P<0.005$) de períodos de vigilia o la duración de períodos de sueño no MOR($F=5.89$, $P<0.01$). No hubo cambios en el tiempo de vigilia intermitente($F=0.27$, $P>0.05$).

Posteriormente por medio de la rueda de Dummets cada tratamiento de clorofeniramina se comparó con el de solución salina:

-El tiempo total de vigilia aumentó con las dosis intermedia($P<0.01$) y alta($P<0.001$), mientras que el tiempo total de sueño disminuyó con las dosis intermedia($P<0.01$) y alta($P<0.001$) (fig. 11).

-Los tiempos de sueño no MOR y sueño MOR disminuyeron el primero con las dosis intermedia($P<0.01$) y alta($P<0.001$) y el segundo con las dosis intermedia y alta($P<0.001$) (fig. 12).

-Las latencias de ambas fases de sueño se alargaron la de sueño no MOR con las dosis intermedia y alta($P<0.001$) y la de sueño MOR con las dosis bajas($P<0.01$), intermedia y alta($P<0.001$) (fig. 13).

-El número de períodos de vigilia se redujo con las dosis intermedia($P<0.05$) y alta($P<0.01$) y su duración aumentó con la dosis alta($P<0.01$). El número de períodos de sueño no MOR se redujo con las dosis intermedia($P<0.01$) y alta($P<0.001$) y mientras que su duración no se afectó. El número de períodos de sueño MOR se redujo con las dosis intermedia y alta($P<0.001$) y su duración disminuyó con las dosis

RESULTADOS

intermedia($P<0.01$) y alta($P<0.001$) (fig. 14).

-Tanto el número de cambios de fase como el de ciclos de sueño MOR se redujeron; el primero con las dosis bajas($P<0.01$), intermedia y alta($P<0.001$) y el segundo con estas últimas dosis($P<0.01$) (fig. 15).

-En la distribución porcentual de los tres estados de la vigilancia se observa como las dosis intermedia y alta disminuyeron en forma progresiva la vigilia y disminuyeron ambas fases de sueño (fig. 16).

C.Cambios solisiáficos con la administración de xantacaina. Las dosis de 20 y 40 mg/kg indujeron un estado conductual y solisiáficamente distinto de los estados normales de la vigilancia. Los animales se quedaban inmóviles, con las extremidades estiradas, ojos paralizadas y ondas lentas que sobresaltan de la actividad de fondo del sueño no MOR, junto con signos EMG de marcadas leves e intermitentes (fig. 17). Se le denominó sueño lento farmacológico(SLF) con el fin de diferenciarlo del sueño no MOR en el curso temporal, este estado se estableció desde la primera hora de registro alcanzó una duración promedio de 25 minutos, en donde se continúan más de tres horas con 20 mg/kg y más de cinco horas con 40 mg/kg (fig. 18).

La comparación de los tratamientos por medio del análisis de varianza arrojó cambios significativos en los tiempos totales de vigilia y sueño, en el tiempo de sueño no MOR, tienden para ambas fases de sueño número de períodos de los tres estados, duración de períodos de sueño MOR y cambios de fase ($F=8.62$; $P<0.001$). También afectó el tiempo de vigilia intermitente, tiempo de sueño MOR y

RESULTADOS

duración de los períodos de sueño no MOR ($F=6.10$, $P<0.005$), ciclos de sueño MOR ($F=5$, $P<0.02$) y duración de los períodos de vigilia ($F=4.13$, $P<0.05$).

Luego del análisis de varianza se hizo la prueba de Bonferroni para comprobar cada uno de los tratamientos del ensayo contra vehículo.

-Aumentó el tiempo total de vigilia en el grupo de la dosis alta: 40 mg/kg, ($P<0.001$) y disminuyó el tiempo total de sueño en los grupos de las dosis intermedia, 20 mg/kg, y alta($P<0.001$) (fig. 19).

-Disminuyeron el tiempo de vigilia intermitente en el grupo de la dosis intermedia($P<0.05$), el tiempo de sueño no MOR en los grupos de las dosis intermedia y alta($P<0.001$) y el tiempo de sueño MOR en el grupo de la dosis alta($P<0.05$). El sueño lento fisiológico se presentó con 20 mg/kg(81.50±11 min) y con 40 mg/kg(107±2 min) (fig. 20).

-Se alargaron las latencias de ambas fases de sueño, la de sueño no MOR en los grupos de las dosis intermedia y alta($P<0.001$) y la de sueño MOR en los grupos de las dosis media($P<0.01$), intermedia y alta($P<0.001$). La latencia del sueño lento fisiológico fue de 20.25±2.37 min con 20 mg/kg y de 23.89±5.05 min con 40 mg/kg (fig. 21).

-Se redujo el número de períodos de vigilia en los grupos de las dosis intermedia y alta($P<0.01$), mientras que su duración aumentó en el grupo de la dosis alta($P<0.05$). Se redujo el número de períodos de sueño no MOR en los grupos de las dosis intermedia y alta($P<0.001$) y

RESULTADOS

su duración disminuyó en el grupo de la dosis alta($P<0.05$). Se redujo el número de períodos de sueño MOR en los grupos de las dosis intermedia($P<0.01$) u alta($P<0.001$) y su duración disminuyó en el grupo de la dosis alta($P<0.001$). El número de revoltes de sueño lento farmacológico fue de 13.50 ± 1.35 con 20 mg/kg u de 27.75 ± 1.80 con 40 mg/kg, mientras que su duración fue de 4.72 ± 0.29 min e 3.59 ± 0.47 min con 20 y 40 mg/kg, respectivamente. (fig. 22).

-Se redujo el número, tanto de los cambios de fase como el de ciclos de sueño MOR: los primeros en los grupos de las dosis intermedia e alta($P<0.001$) y los segundos, en el grupo de la dosis alta($P<0.01$) (fig. 23).

-La distribución porcentual de los tres estadios en el grupo tratado con solución salina fue de 24% para la vigilia total, 49% para el sueño no MOR y 5% para sueño MOR. En el grupo tratado con 10 mg/kg fue de 25% para vigilia total, 70% para sueño no MOR y 5% para sueño MOR. En el grupo tratado con 20 mg/kg fue de 34% para vigilia total, 40% para sueño no MOR, 2% para sueño MOR u 22% para el sueño lento farmacológico. En el grupo tratado con 40 mg/kg fue de 56% para vigilia total, 18% para sueño no MOR, 0% para sueño MOR u 32% para el sueño lento farmacológico (fig. 24).

Si hacemos un resumen de los efectos de difenhidramina(DRH), clorofeniramina(CFA) y prometacina(PMT) sobre las variables del sueño podemos decir que las dosis bajas de los tres antihistamínicos aumentaron la vigilia, mientras que las dosis intermedias de CFA e PMT y las dosis altas de los tres compuestos disminuyeron aquella. Fases de

RÉSULTADOS

sueño. Las dosis intermedias de CFA y PMT y las dosis altas de los tres fármacos alargaron la latencia de sueño no NREM mientras que la dosis baja de PMT y las dosis intermedias o altas de los tres antihistamínicos alargaron la latencia de sueño NREM. Las dosis altas de CFA y PMT redujeron el número de periodos de vigilia para lo que la dosis alta de CFA aumentó su duración. Las dosis intermedias de CFA y PMT y las altas de los tres antihistamínicos redujeron el número y la duración de ambas fases de sueño el número de cambios de fase o de ciclos de sueño NREM. Finalmente la distribución porcentual refleja un aumento en la vigilia y una disminución en ambas fases de sueño con las dosis intermedias de CFA y PMT y las altas de los tres antihistamínicos.

V E H I C U L O

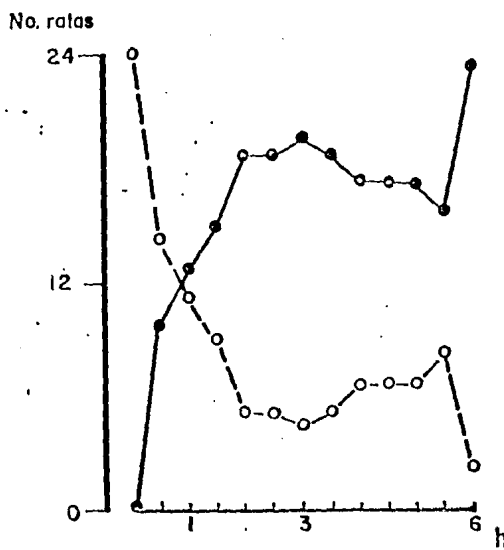


FIG. 1. Muestra el número de ratas despiertas (○) y dormidas (●) durante 6 horas. Los datos corresponden a los tres sujetos control que recibieron solución salina. Notese que después de una hora hay una proporción de más del 50% de los animales dormidos que se mantiene así mientras dura el experimento.

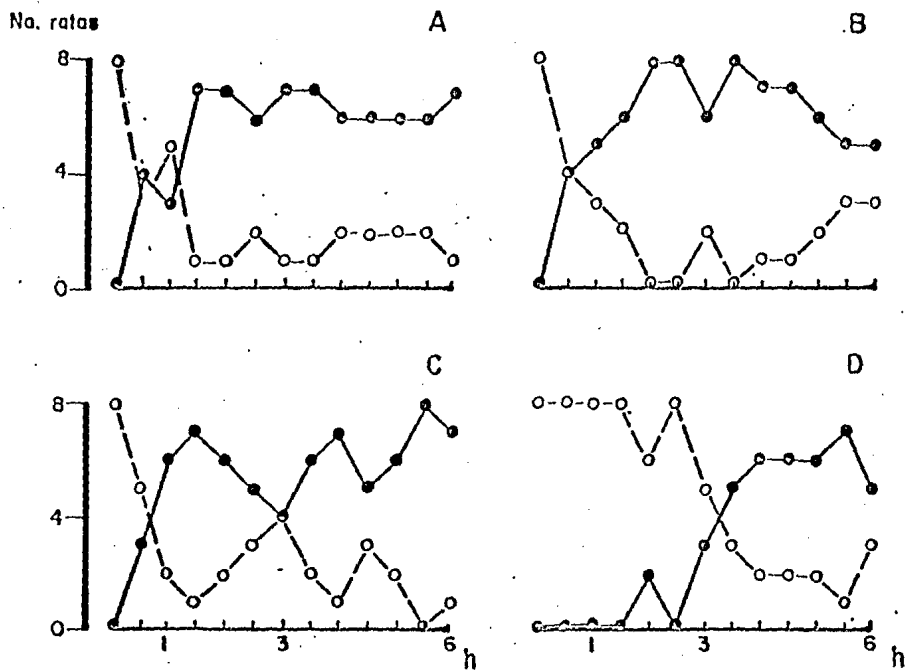


FIG. 2. Muestra el número de ratas despiertas (○) y dormidas (●) en el curso de 6 horas luego de administrar vehículo (A), 4 mg/kg (B), 12 mg/kg (C) y 36 mg/kg (D) de diphenhydramina. Con la dosis alta hubo una mayor proporción de animales despiertos por más de tres horas.

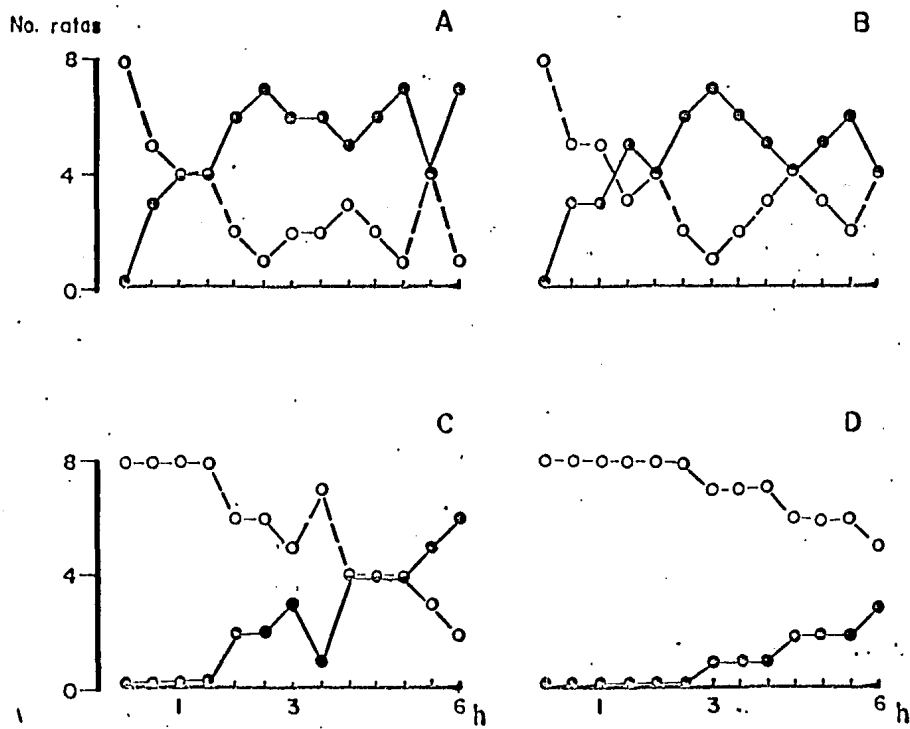


FIG. 3. Muestra el número de ratas despiertas (○) y dormidas (●) en el curso de 6 horas luego de administrar vehículo (A), 10 mg/kg (B), 30 mg/kg (C) y 60 mg/kg (D) de chlorofeniramina. Con la dosis intermedia predominaron los animales despiertos por más de 3 horas y con la dosis alta durante toda la sesión.

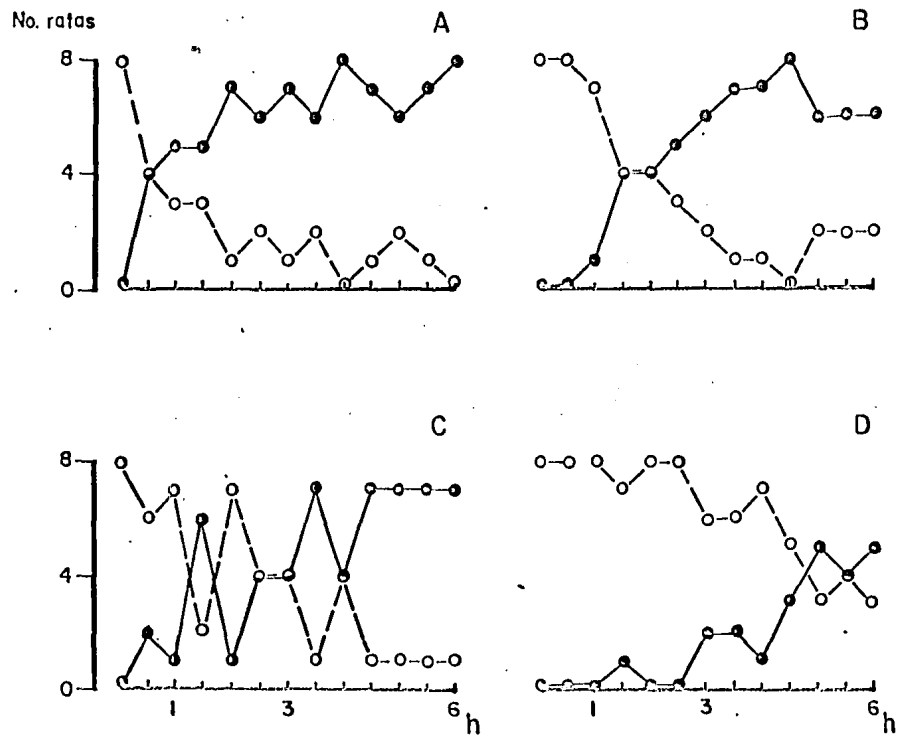


FIG. 4. Muestra el número de ratas despiertas (○) y dormidas (●) en el curso de 6 horas luego de administrar vehículo (A), 10 mg/kg (B), 20 mg/kg (C) y 40 mg/kg (D) de prometazina. La dosis intermedia desorganizó la conducta de sueño y con la dosis alta la proporción de animales despiertos fue menor por más de 4 horas.

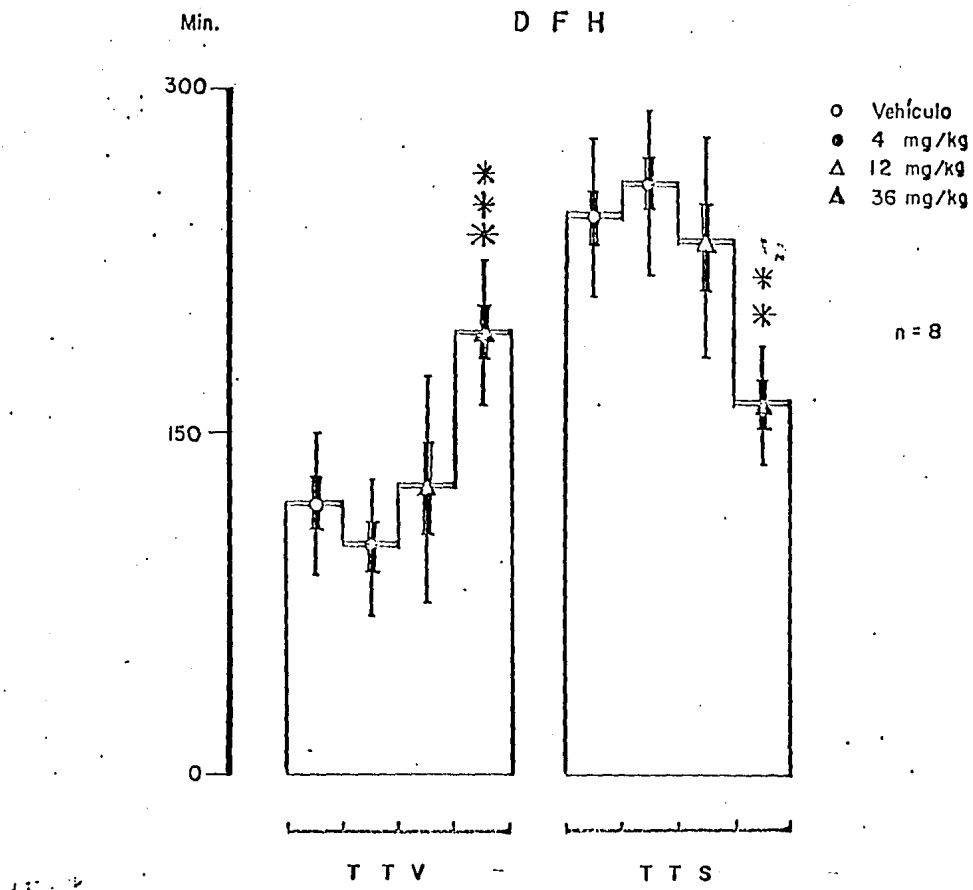


FIG. 5. Efecto de difenhidramina (DFH) sobre el tiempo total de vigilia (TTV) y sueño (TTS). Cada punto corresponde a los promedios (D.E. y E.E.), estos se compararon al del vehículo por medio de un análisis de varianza con un criterio de clasificación, seguido por la prueba de Dunnett; * $P<0.05$, ** $P<0.01$, *** $P<0.001$.

D F H

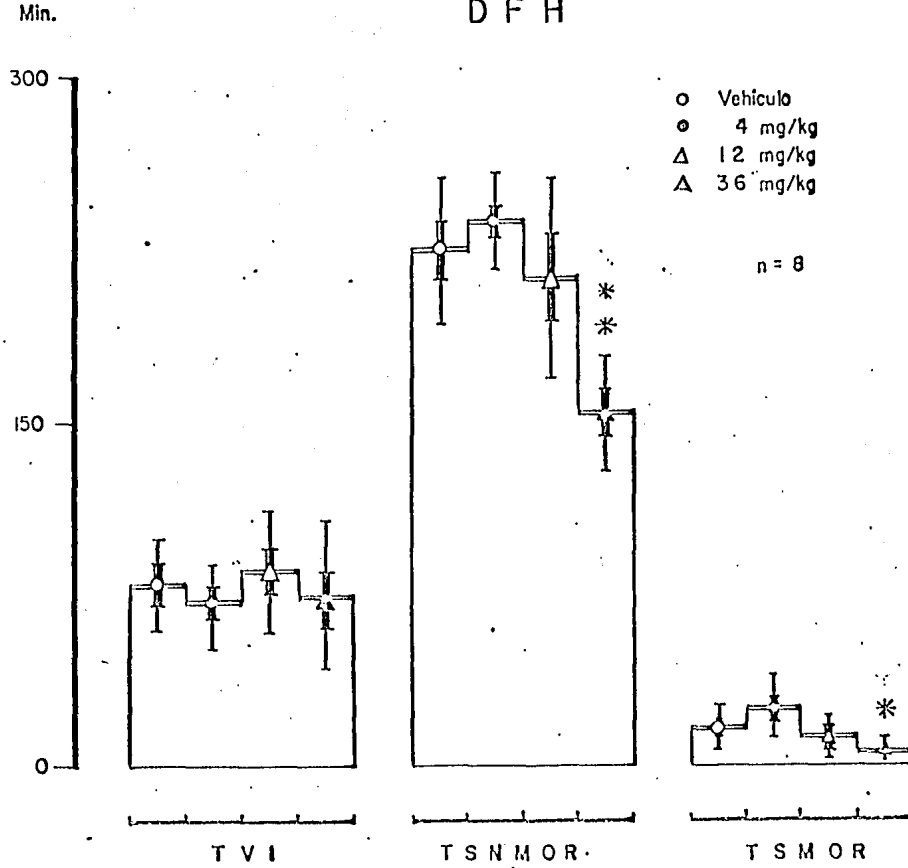


FIG. 6. Efecto de difenhidramina (DFH) sobre el tiempo de vigilia intermitente (TVI), tiempo de sueño no MOR (TSNMOR) y tiempo de sueño MOR (TSMOR). Cada punto corresponde a los promedios (D.E., y F.F.), estos se compararon al del vehículo por medio de un análisis de varianza con un criterio de clasificación, seguido por la prueba de Dunnett: *P<0,05, **P<0,01, ***P<0,001.

Min.

D F H

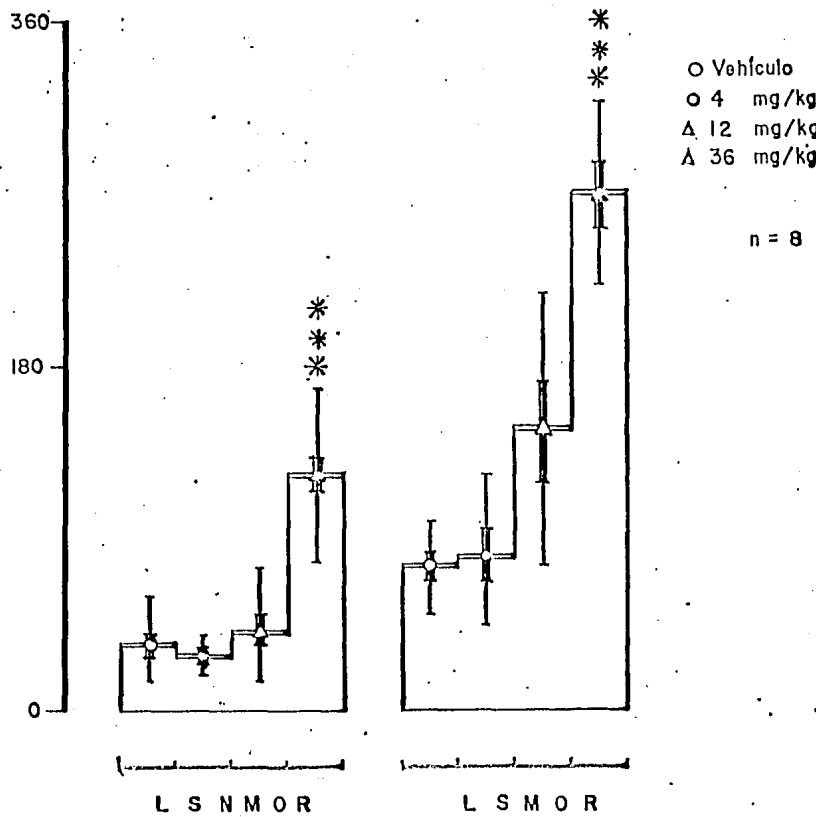


FIG. 7. Efecto de difenhidramina (DFH) sobre las latencias de sueño no MOR (LSNMOR) e sueño MOR (LSMOR). Cada punto corresponde a los promedios (D.E., Y E.E.), estos se compararon al del vehículo por medio de un análisis de varianza con un criterio de clasificación, seguido por la prueba de Tukey: *P<0.05, **P<0.01, ***P<0.001.

D F H

No./6h

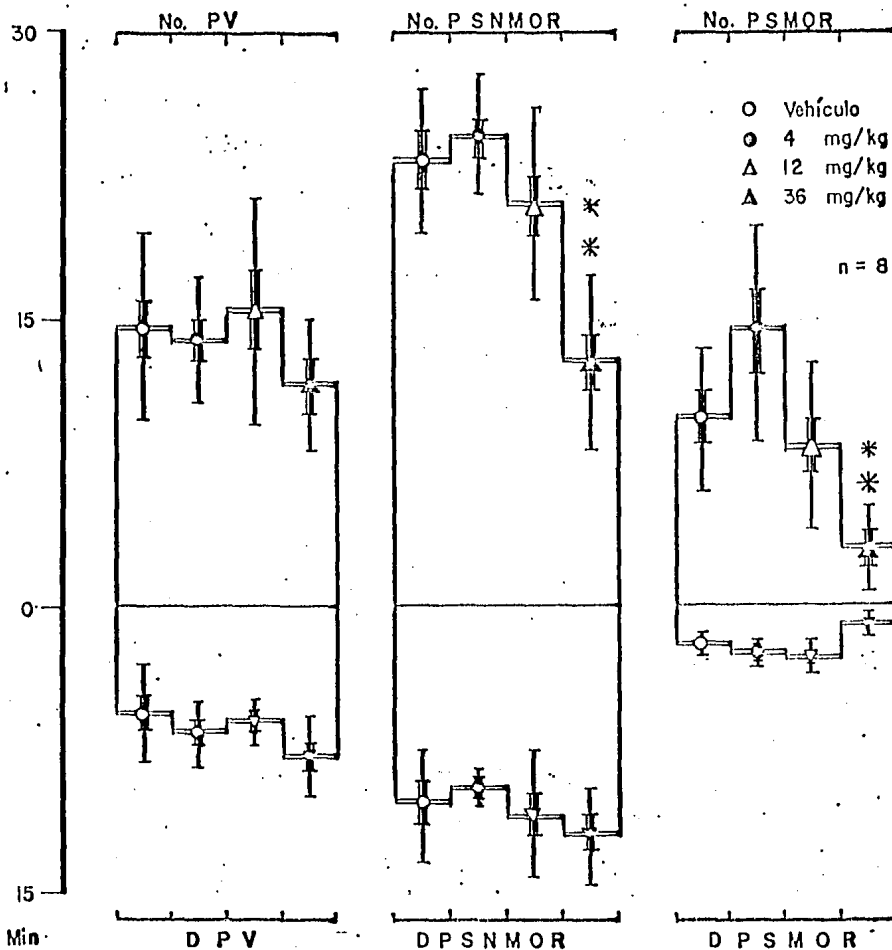


FIG. 8. Efecto de difenhidramina (DFH) sobre el número y duración de períodos de vigilia (NoPV, DPSV), de sueño no MOR (NoPSNMOR, DPSNMOR) Y SUEÑO MOR (NoPSMOR, DPSMOR). Cada punto corresponde a los promedios (D.E. Y E.E.), estos se compararon al del vehículo por medio de un análisis de varianza con un criterio de clasificación, seguido por la prueba de Tukeyt: *P<0.05, **P<0.01, ***P<0.001.

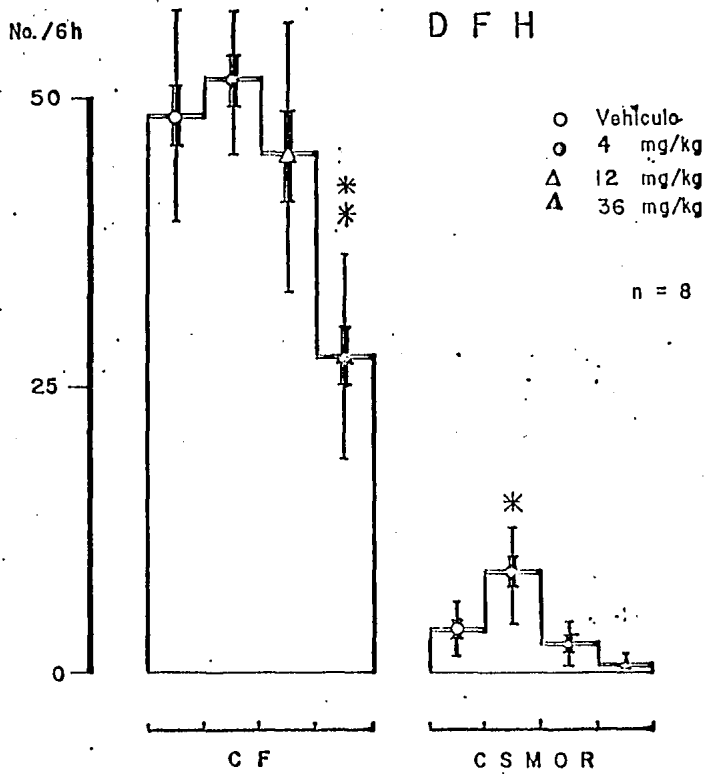


FIG. 9. Efecto de difenhidramina (DFH) sobre a) número de cambios de fase (CF) y ciclos de sueño NOR (CSMOR). Cada punto corresponde a los promedios (\bar{x} , E., Y E.E.), estos se compararon al del vehículo por medio de un análisis de varianza con un criterio de clasificación, seguido por la prueba de Dunnett: * $P<0.05$, ** $P<0.01$, *** $P<0.001$.

%

D F H

100

○ Vehículo
○ 4 mg/kg
△ 12 mg/kg
△ 36 mg/kg

n = 8

50

0

— — — — —

V T

— — — — —

S N M O R

— — — — —

S M O R

FIG. 10. Muestra la distribución porcentual de la vigilia total (VT), sueño no MOR (SNMOR) y sueño MOR (SMOR) luego de la administración de vehículo o difenhidramina (DFH). Se observa como la dosis alta incrementa la vigilia y disminuye ambas fases de sueño.

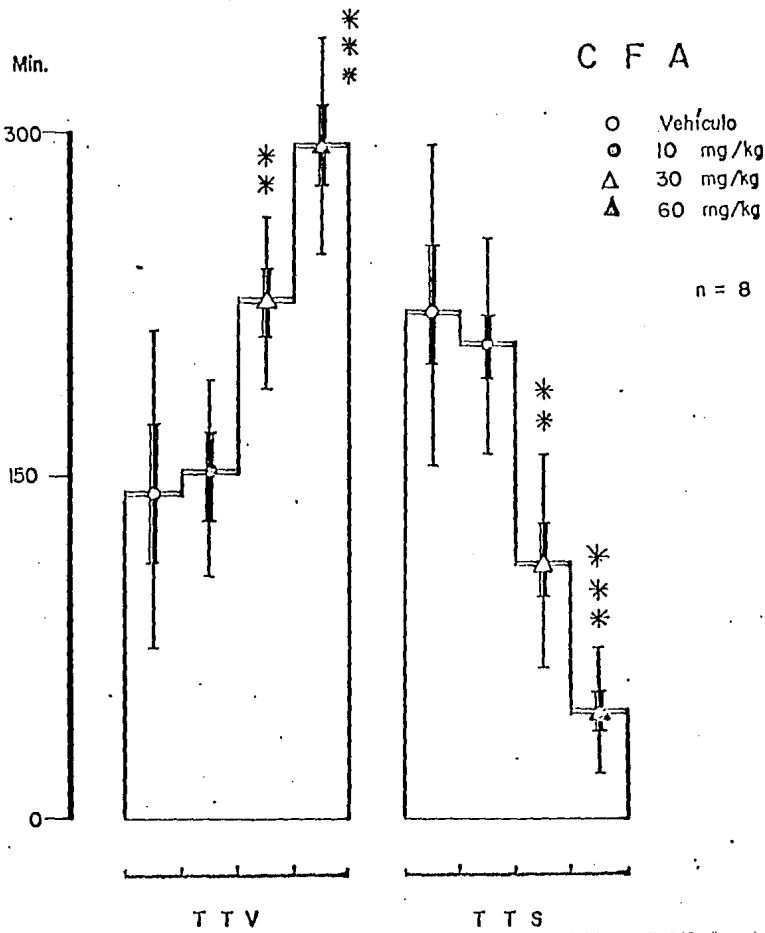


FIG. 11. Efecto de clorofeniramina (CFA) sobre los tiempos totales de vigilia (TTV) y sueño (TTS). (Cada punto representa los promedios (D.E. Y E.E.) que se compararon al del vehículo utilizando un análisis de varianza con un criterio de clasificación, seguido por la prueba de Dunnett; *P<0.05, **P<0.01, ***P<0.001.

Min.

C F A

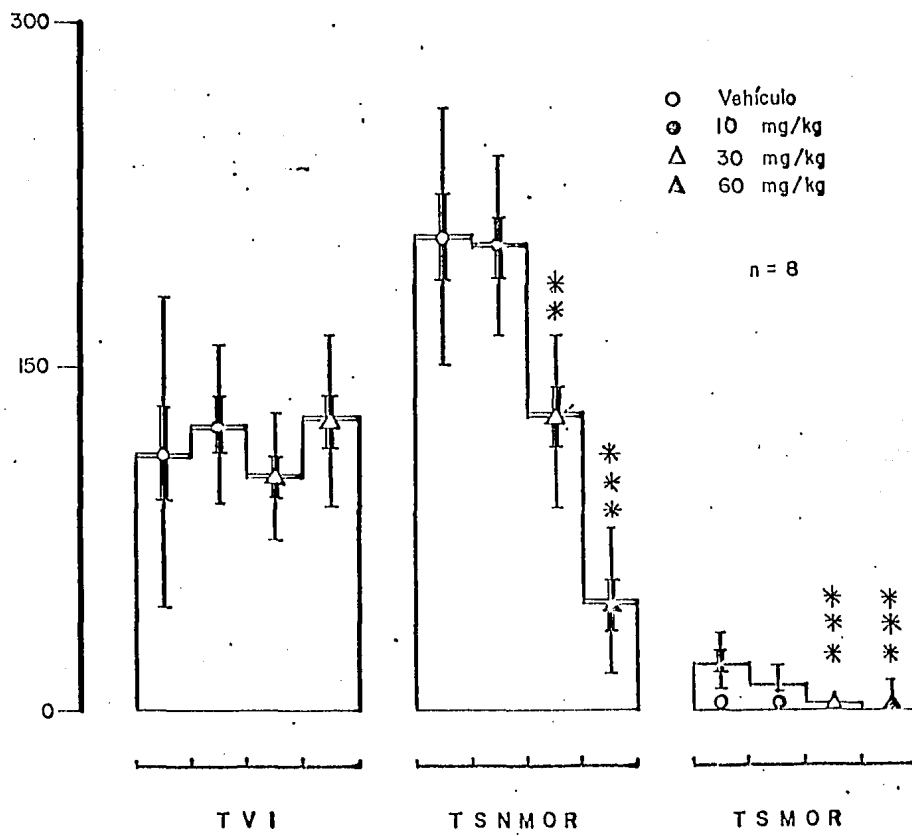


FIG. 12. Efecto de clorofenireamina (CFA) sobre los tiempos de vigilia intermitente (TVI), sueño no MOR (TSNMOR) y sueño MOR (TSMOR). Cada punto representa los promedios (M.F. Y E.E.) que se compararon al del vehículo utilizando un análisis de varianza con un criterio de clasificación, seguido por la prueba de Dunnett: * $P<0.05$, ** $P<0.01$, *** $P<0.001$.

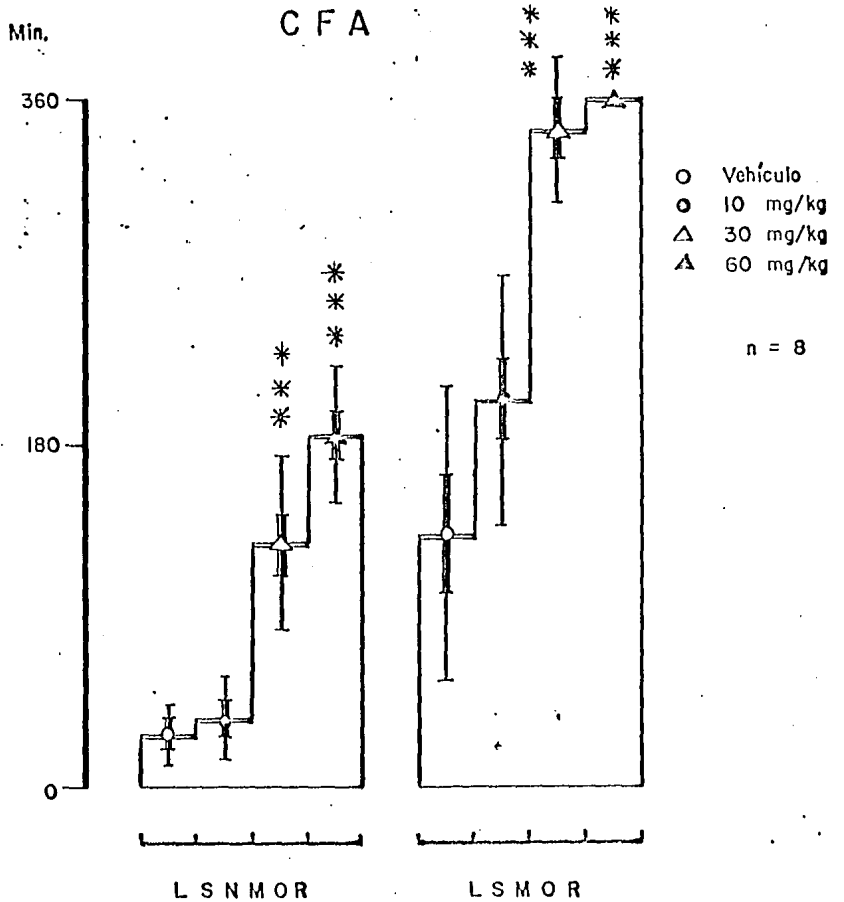


FIG. 13. Efecto de clorotetraenamina (CFA) sobre las latencias de sueño no MOR (LSNMOR) u sueño MOR (LSMOR). Cada punto representa los promedios (R.E. Y E.E.) que se compararon al del vehículo utilizando un análisis de varianza con un criterio de clasificación, seguido por la prueba de Dunnett: *P<0,05, ***P<0,01, ****P<0,001.

No./6 h

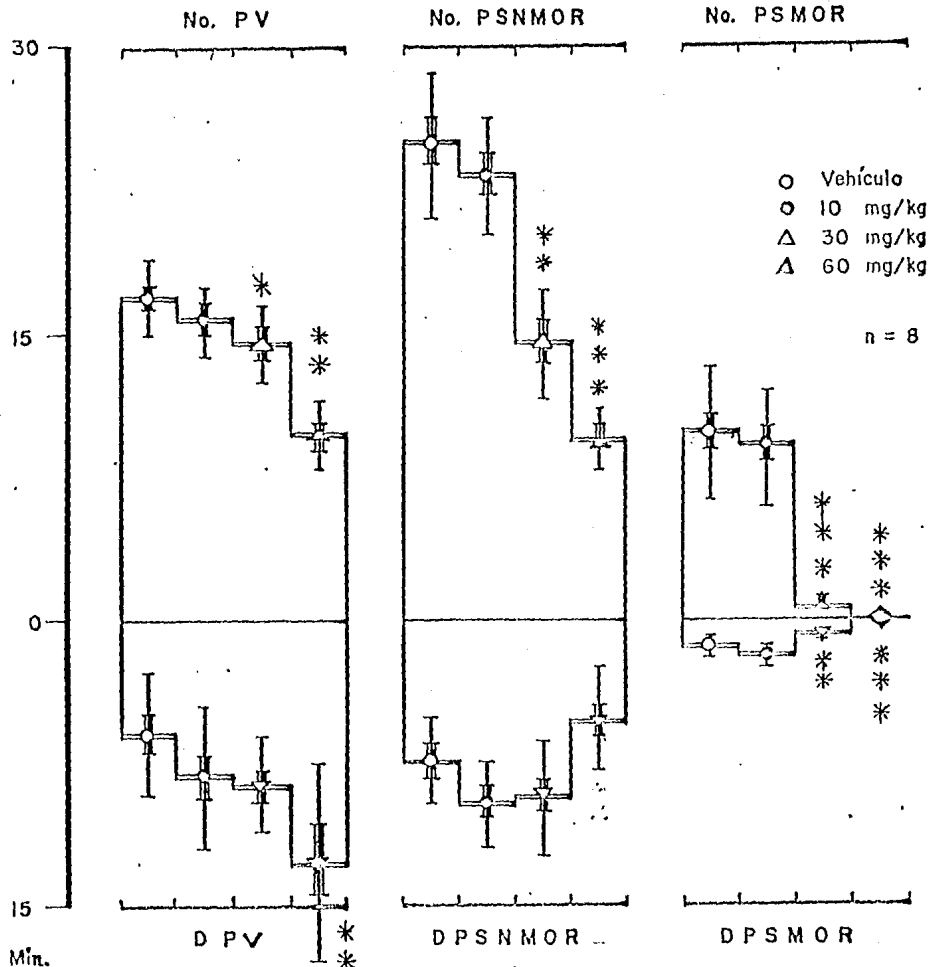


FIG. 14. Efecto de clorofeniramina (CFA) sobre el número y duración de períodos de vigilia (No.PV, NPV), de sueño no HR (NoPSNMOR, DPSNMOR) y sueño HR (NoPSMOR, DPSMOR). Cada punto representa los promedios (N.E. Y F.F.) que se compararon al del vehículo utilizando un análisis de varianza con un criterio de clasificación, seguido por la prueba de Dunnnett: *P<0.05, **P<0.01, ***P<0.001.

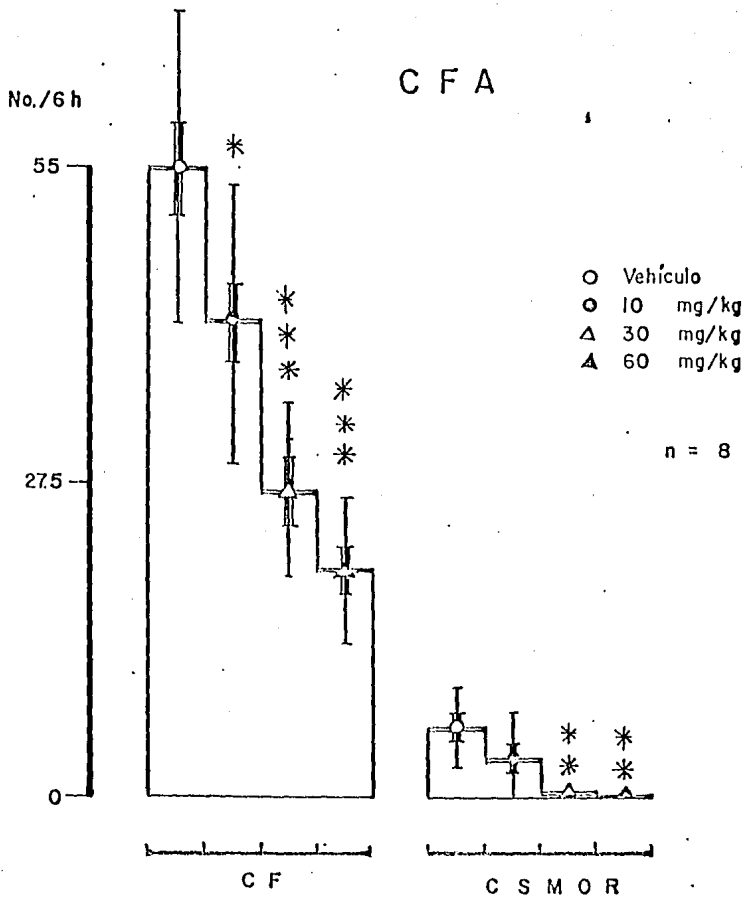


FIG. 15. Efecto de clorofeniramina (CFA) sobre los números de cambios de fase (CF) y de ciclos de sueño NREM (CSMOR). Cada punto representa los promedios (D.E. Y F.F.) que se compararon al del vehículo utilizando un análisis de varianza con un criterio de clasificación, seguido por la prueba de Dunnett: *P<0.05, **P<0.01, ***P<0.001.

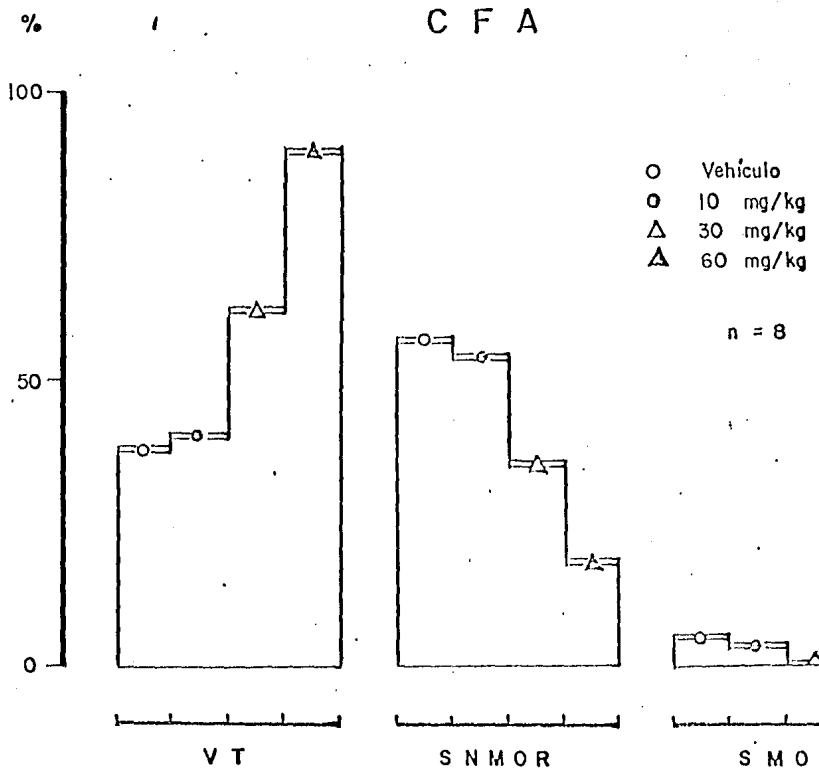


FIG. 16. Muestra la distribución porcentual de la vigilia total (VT), sueño no MOR (SNMOR) y sueño MOR (SMOR) luego de administrar vehículo y clorofeniramina (CFA). Las dosis intermedia y alta incrementaron la vigilia y disminuyeron ambas fases de sueño.

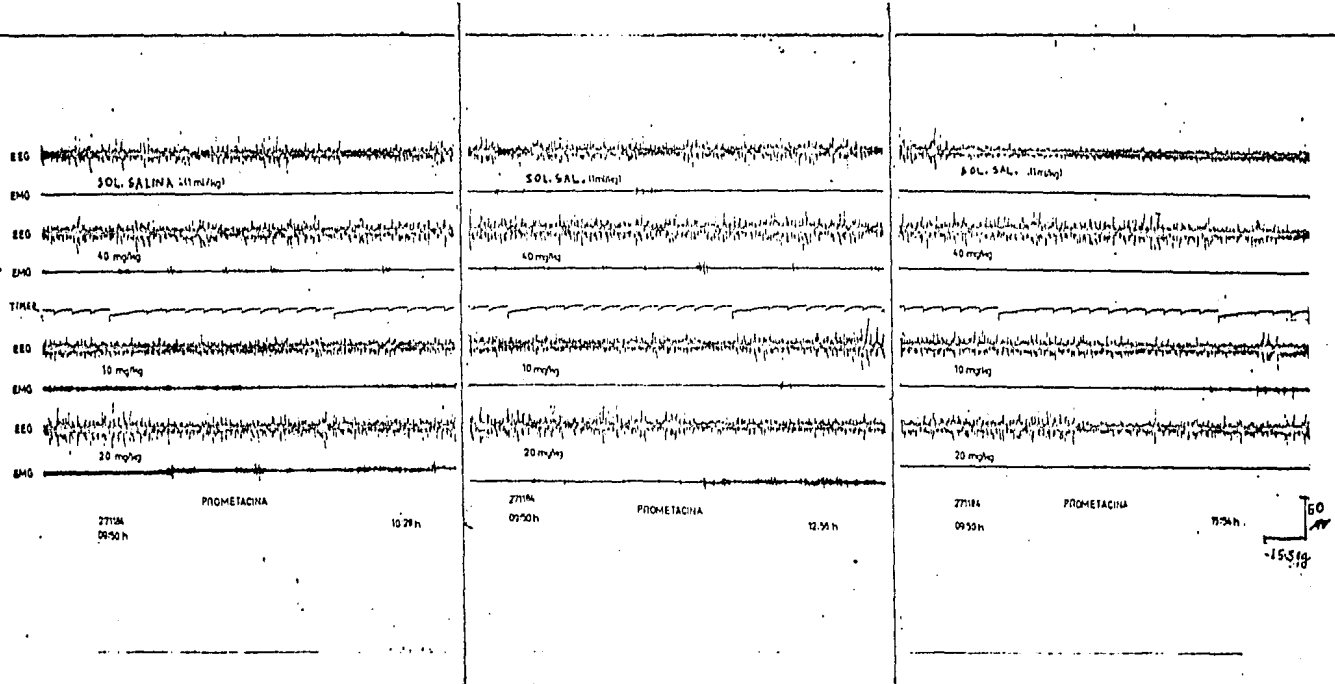
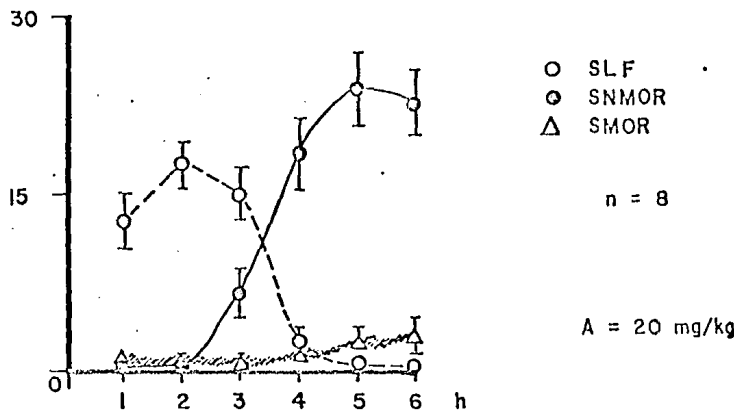


Fig. 17. Se presentan tres muestras de registro poligráfico a las 10:28, 12:56 y 15:54 hrs. luego de administrar solución salina y tres dosis de Prometacina (PMT). Las dosis de 20 y 40 mg/Kg indujeron un estado caracterizado por ondas lentas en el EEG y sacudidas en el EMG, denominado sueño lento farmacológico (SIF), que se observa en las muestras de las 10:28 y 12:56 hrs.

Min.

P M T



Min.

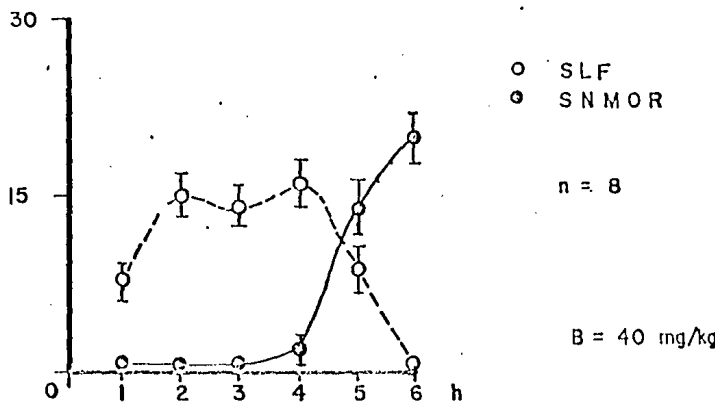


FIG. 18. Promedol (F.E.) de tiempo en minutos de sueño tanto farmacológico (SLF) (○), sueño no MOR (SNMOR) (●) y sueño MOR (SMOR) (△) en el curso de 6 horas, con 20 mg/kg (A) y 40 mg/kg (B) de prometazina (PMT). El SLF aparece desde la primera hora, alcanza una meseta de alrededor de 15 minutos en donde permanece por 3 horas con la dosis intermedia y por 4 horas con la dosis alta; el SNMOR aparece de manera inversa y la dosis alta anula el SMOR.

Min.

P M T

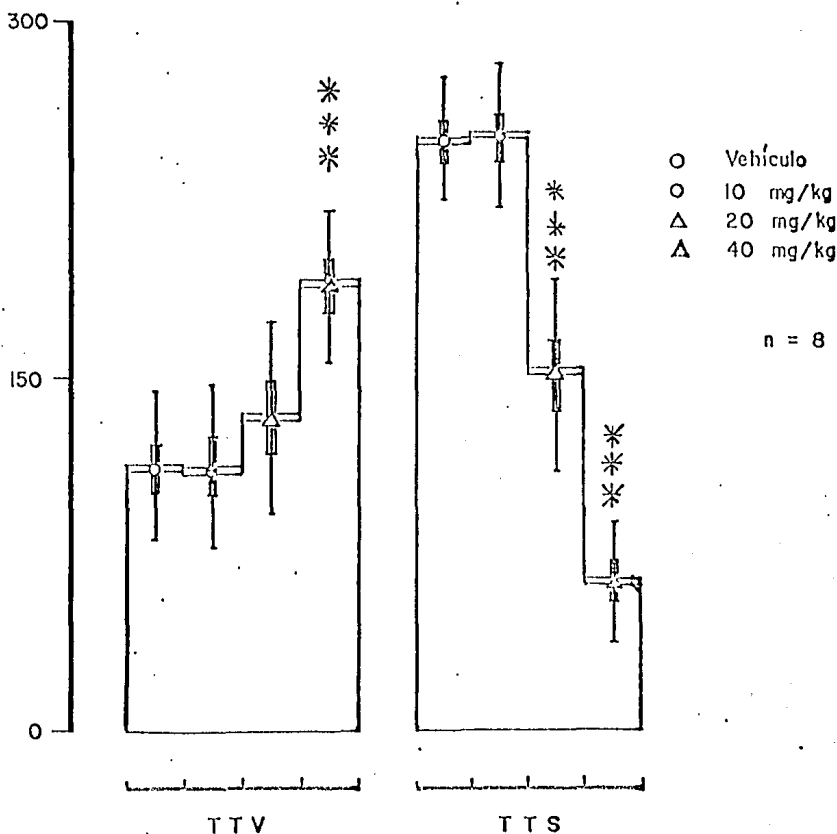


FIG. 19. Efecto de prometecina (PMT) sobre los tiempos totales de vigilia (TTV) u sueño (TTS). Cada punto indica el promedio (D.E. Y E.E.) de los tratamientos; estos se compararon al del vehículo por medio de un análisis de varianza con un criterio de clasificación, seguido por la prueba de Dunnett: *P<0.05, **P<0.01, ***P<0.001.

Min.

300

0

150

0

FIG. 20. Efecto de prometacina (PMT) sobre los tiempos de visión intermitente (TVI), sueño no MOR (TSNMOR), sueño lento farmacológico (TSLF) y sueño MOR (TSMOR). Cada punto indica el promedio (\pm D.E. o F.E.) de los tratamientos; estos se compararon al del vehículo por medio de un análisis de varianza con un criterio de clasificación, seguido por la prueba de Dunnnett. * $P<0.05$, ** $P<0.01$, *** $P<0.001$.

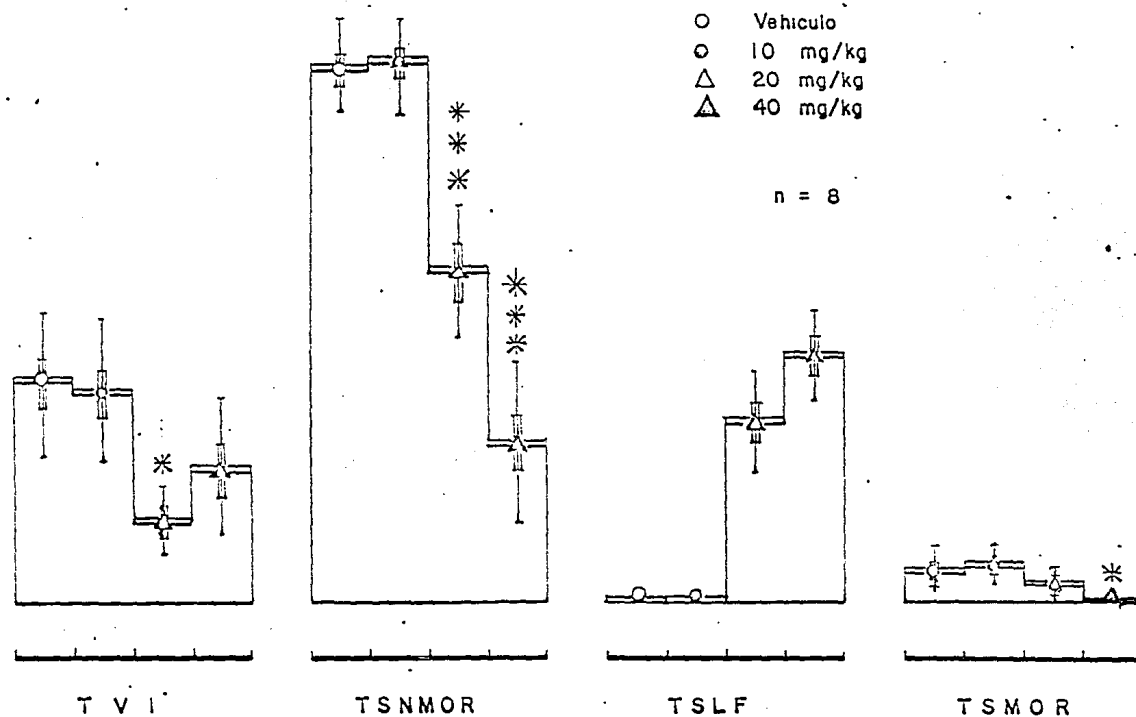


Fig. 20

Min.

300

FIG. 20. Efecto de prometacina (PMT) sobre los tiempos de vigilia intermitente (TVI), sueño no MOR (TSNMOR), sueño lento farmacológico (TSLF) y sueño MOR (TSMOR). Cada rectángulo indica el promedio (\pm D.E. o F.E.) de los tratamientos; estos se compararon al del vehículo por medio de un análisis de varianza con un criterio de clasificación, seguido por la prueba de Durckett:
* $P<0.05$, ** $P<0.01$, *** $P<0.001$.

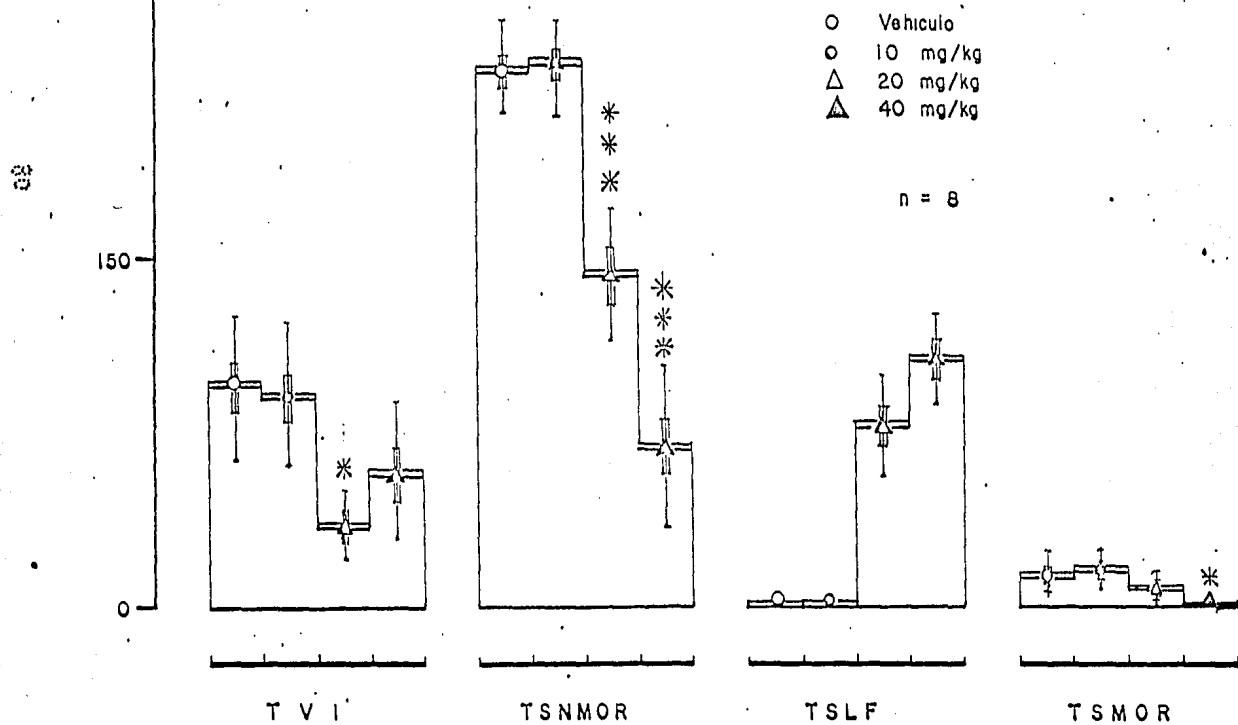


Fig. 20

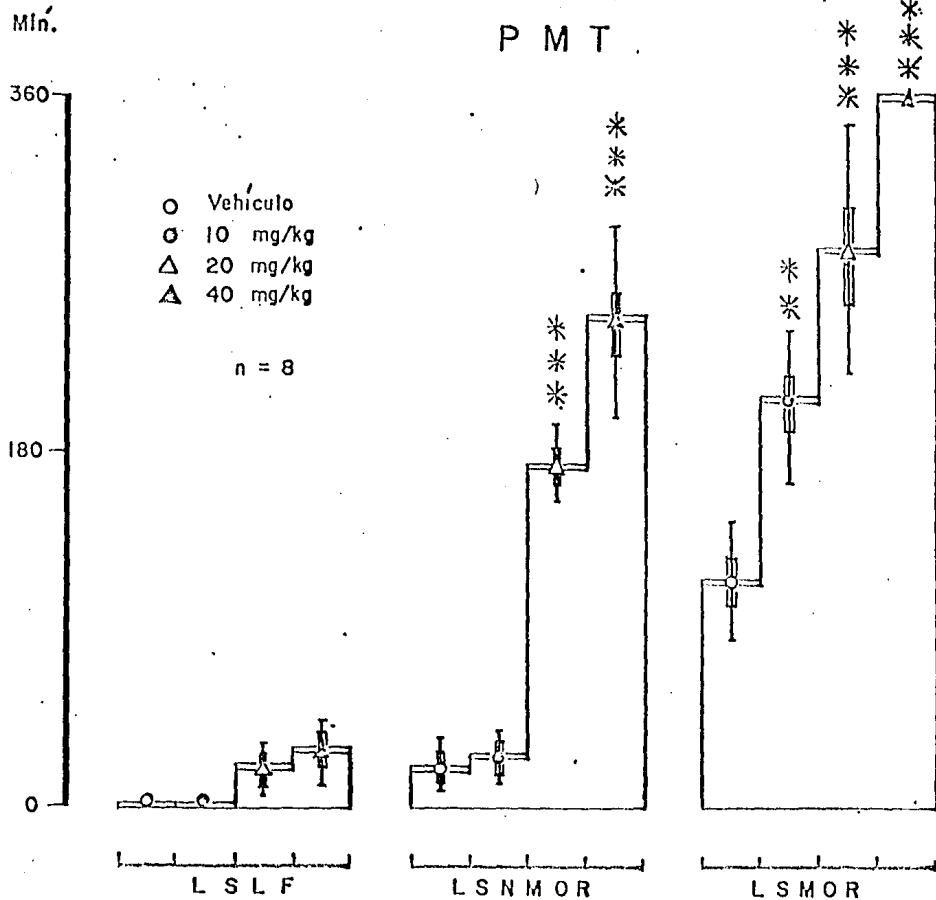
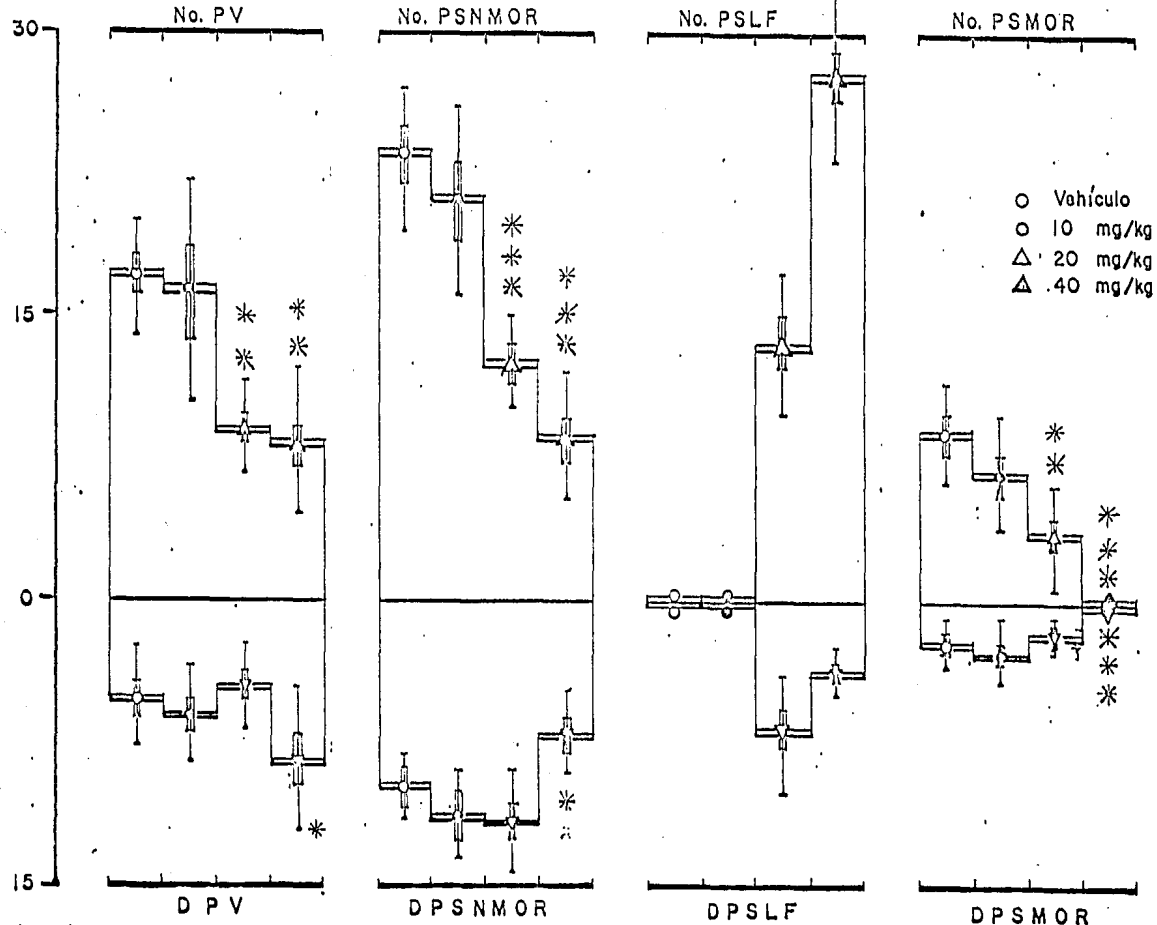


FIG. 21. Efecto de prometazina (PMT) sobre las latencias de sueño lento farmacológico (LSLF), sueño no MOR (LSNMOR) y sueño MOR (LSMOR). Cada punto indica el promedio (\pm D.E. y \pm E.F.) de los tratamientos, estos se compararon al del vehículo por medio de un análisis de varianza con un criterio de clasificación seguido por la prueba de Dunnett: * $P<0.05$, ** $P<0.01$, *** $P<0.001$.

PROMETACINA

No./6 h



Min.
Fig. 22

FIG. 22. Efecto de prometacina (PM) sobre el número y duración de períodos de vigilia (NoPV, DfV), sueño no MOR (NoPSNMOR, DPSNMOR), sueño lento farmacológico (NoPSLF, DPSLF) e sueño MOR (NoPSHMOR, DPSHMOR). Cada punto indica el promedio (\pm D.E. y E.E.) de los tratamientos; estos se compararon al del vehículo por medio de un análisis de varianza con un criterio de clasificación, seguido por la prueba de Dunnett: *P<0.05, **P<0.01, ***P<0.001.

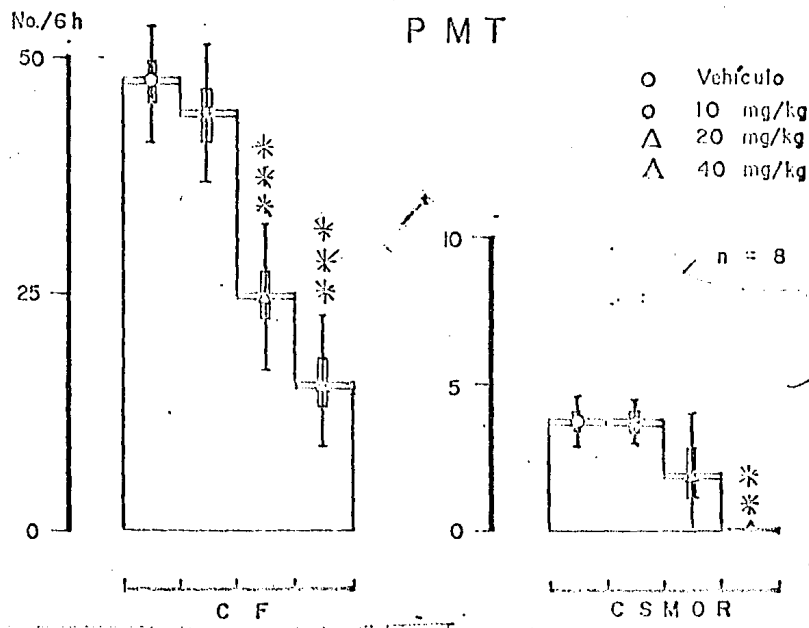


FIG. 23. Efecto de prometocerina (PMT) sobre el número de cambios de fase (CF) e ciclos de sueño N1R (CSMOR). Cada punto indica el promedio (\pm S.E. F.E.) de los tratamientos, estos se compararon al del vehículo por medio de un análisis de varianza con un criterio de clasificación, seguido por la prueba de Dunnett: * $P<0.05$, ** $P<0.01$, *** $P<0.001$.

%

P M T

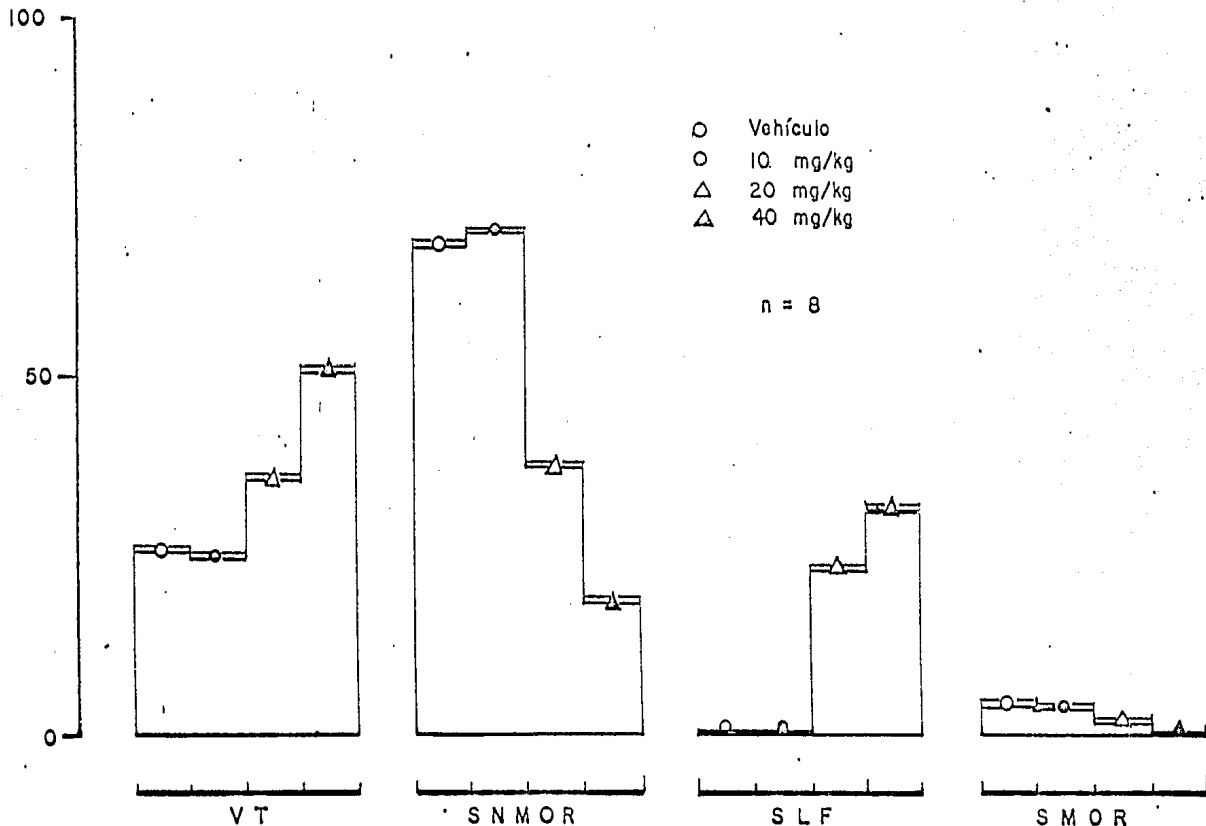


Fig. 24. Distribución porcentual de vigilia total (VT), sueño no MOR (SNMOR), sueño lento farmacológico - (SLF) y sueño MOR (SMOR) luego de la administración de vehículo y Prometacina (PMT). Se observa un incremento gradual en la vigilia y una disminución, también gradual, en ambos estados de sueño con respecto a la dosis. El SLF ocupó el 22% con la dosis intermedia y el 32% con la dosis alta.

MISIÓN.

El análisis coligativo y la observación demuestran que las conductas muestran que las dosis aplicadas de los inhibidores H1, provocaron un incremento en la actividad y una disminución en el sueño, concomitantemente con cambios conductuales.

MODIFICACIONES CONDUCTUALES.

Basados en las muestras previas, se determinaron las dosis inferiores a aquellas que provocaban alteraciones conductuales y conscientes, calificadas como fármaco. El punto de dosis más bajo que causó el primer efecto significativo en conductas de experimentación en el ratón es de 10 mg/kg de difenidramina o clorofeniramina sumamente activa (Bartlett et al., 1964). Los efectos altos comienzan con aproximadamente 10 veces menor que la dosis letal media (Stockman 1983). Las dosis bajas no causaron efectos conscientes aunque se han reportado que la clorofeniramina o la prometacina estimulan a la noradrenálina a dosis de 10 mg/kg (Liu, 1981) a la rats (Jani, 1966; Isaac & Gitter 1967) y que de 10 a 30 mg/kg/100 g de los animales expuestos estimulan a los barbitúricos (Heimbecker 1967), e inhiben la conducta suicida en la rata (Bennett et al., 1969). También se reportó que 20 mg/kg de difenidramina o clorofeniramina, vía i.v., bloquen la conducta de vigilie inducida por histamina intraventricular en la rata (Kilivass, 1980).

En los primates utilizados en las experimentaciones más tempranas de difenididrina(CPD) o clorodifenidrina(CPA), Androparque una estimulación del SNC, manifestada por hiperactividad, actividad motora e balanceo continuo de la cajaocular. Por contra, tanto la dosis alta de prometacina(PMT) como la CPA, evitaban la hiperactividad prolongada, actividad motora que se manifestaba en actividad leve e esporádica de la cajaocular.

Los efectos excitatorios de las picrotoxinas más difenididrina en varias especies animales (Gibbs, 1947) y en ratas (Machado, 1953) y, sobre todo (Roth & Souza, 1958) y ratones (Garcia & Haplin, 1965; Bennett et al., 1969; Rutter et al., 1981Y). En ratas ruidos des inhibidores catiônicos. Los efectos sedativos de la norepinefrina en la rata (Gibbs, 1948), no observados en el humano, se produce sedación cuando se usa difenididrina en dosis. Las experimentaciones (Lichtenfeld et al., 1974; Carpenter et al., 1978). Estos efectos se producen por el rango de dosis utilizada en las rodentias, con la PMT y la CPA que fue de 20 a 30 mg/kg(jugular), mientras que en el humano las dosis empleadas son de 25 a 50 mg de PFM(gastr).

En cuanto a los efectos desinhibidores causados por las dosis de 20 a 40 mg/kg de prometacina(PMT), estos concuerdan con las evidencias de que las dosis altas de fenotiazínicos sedanen, inmovilizan, regresan en aves, mamíferos, tienen el efecto ansiolítico, producen somnolencia y disminuyen la actividad locomotriz, manifestada en varias especies animales, incluida la humanidad (Mitter, 1977; Baldeon et al., 1980; Roig et al., 1981).

función las tres fármacos condicionan la estimulación y desinhibición ópticas y una estilización. Los efectos excitatorios de la NEFA o DPA y los desresores de la PHT suelen tener relación con la estructura química de estos compuestos. La última tiene la estructura triéptica de las fenotiacinas y las dos primeras tienen una triptamina.

Por otro lado no puede descartarse la posibilidad de que los efectos observados tengan relación con las diferencias de respuesta.

Los tres antihistamínicos utilizados en nuestro efecto tienen influjo sobre la conducta de sueño. En efecto, se retira la instalación de la misma por alrededor de 4 horas sobre todo con las dosis altas. Las dosis crecientes tienden a disminuir la instalación de la conducta de sueño y particularmente la clorofeniricina quinina provocilla e la acetato de benzaldehído a la vez que 30 minutos durante todo el período con 40 gramos probablemente por la alta empleada y a causa de un componente estimulante central que puede llevar a efectos excitatorios.

De estos resultados se desprende que las alteraciones en la conducta se debieren a efectos ópticos que incluyen tanto en la instalación de la conducta de sueño como la estimulación. Incluye un patrón conductual interrelacionado sedación. Dado señalar que el perfil conductual obtenido aquí no es suficiente para atribuirlos a estos fármacos algún efecto sobre las mecanismos del sueño si solamente se utilizó para intentar una correlación paralela. De los resultados registrados por el polígrafo,

ALTERACIONES POLIGRAFICAS.

Los datos obtenidos muestran que la difenidramina(BPH), la clorofeniramina(CFA) y la prometacina(PMC) ejercen cambios semejantes sobre el ciclo vigilia-sueño de la rata. En general, incrementan el tiempo de vigilia y disminuyen el tiempo total de sueño produciendo polisomnograficamente. La alteración del sueño se divide en tres reducción en la duración tanto del sueño NRE como del REM. La prolongación de las latencias entre los estados de sueño resulta igualmente estas reducciones. Además, la reducción en el número de períodos de sueño NRE y el acentuamiento en la duración de los mismos son factores que contribuyen a la disminución de esta fase. Los datos mencionados se modificaron aún con las dosis de 30 mg/kg de clorofeniramina o 20 mg/kg de prometacina, esto significa que en la ratón se reduce el sueño de vista polisomnográfica los antihistamínicos de referencia afectan el sueño, principalmente el sueño NRE.

La disminución en el número de cambios de fase u de ciclos de sueño NRE sono en evidencia la acción de los antihistamínicos para alterar la organización del ciclo vigilia-sueño. Se ha sugerido que el alargamiento en la latencia de sueño es un factor que determina el número de ciclos de sueño NRE e influye en la organización del sueño (Merica y Gaillard, 1985). En estos resultados ocurre un alargamiento de la latencia de sueño y una desorganización del ciclo.

Los cambios producidos por la clorofeniramina o la prometacina sobre el número y duración de los períodos de sueño en RIS muestra diferencias en la susceptibilidad de estos reactivos. En efecto las dosis intermedias de ambos antihistamínicos reducen el número de períodos, pero aparece un aumento en la duración promedio de los mismos, lo que puede interpretarse como una modificación de compensación que contendría la integridad del sueño. La afectación de ambos parámetros con las dosis altas de ambos fármacos indicaría una alteración menos selectiva de los ciclos.

La tendencia no significativa a disminuir la vigilia e incrementar el sueño mostrada con las dosis de 4 mg/kg de difenhidramina desaparece cuando se incrementa el número de animales en el análisis polisráfico (Iriguiza y Rojas-Ramírez, 1984b ver anéndice III). En cuanto a los resultados con clorofeniramina estos fueron similares a los obtenidos con este fármaco a dosis de 9, 27 y 81 mg/kg (Rojas-Ramírez y Irigüiza, 1985) ver anéndice III).

La disminución del sueño RIS también se observa en otras especies animales; en el rata con prometacina (Jewett, 1969; Jewett, 1971); en el perro con difenhidramina o clorofeniramina (Menzel et al., 1981); y en el humano con bromelicina (Richards et al., 1973). Este efecto se ha reportado con otros antihistamínicos como el astemizolene (Kates et al., 1971) y bromofeniramina (Nicholson et al., 1985). Asimismo tanto Jewett (1971) como Richards et al., 1973) observaron un efecto en relación a la dosis con bromelicina, como ocurrió en este trabajo, es como parece ser el caso de clorofeniramina.

Por otra parte, la prometacina indujo un patrón FFR de ondas lentas y altas, que se denominó sueño lento farmacológico (SLF), que no fué posible correlacionar con un efecto conductual del sueño o vigilia. El SLF podría corresponder al que produce la prometamina en el gato (Jewett, 1971) o en el humano (Risberg et al., 1975) en los cuales este fármaco incrementa el sueño de ondas lentas. Sin embargo, el SLF se acompañó de inmovilidad de los animales, con extremidades extendidas y corrazos semicerrados lo que sugirió una disociación de los mecanismos encargados de la sincronización y desincronización del EEG, como ha sido reportado con anticolinérgicos (Wickens, 1952; Domino y Hudson, 1958; Carlton y Domino, 1961). Sin embargo, debe admitirse que los cambios FFR son un parámetro más sólo presencia no manifiesta el fondo del sueño. A pesar de la inducción del SLF dentro del tiempo de sueño no REM, persistió la tendencia a la disminución de esta fase como consecuencia de la administración de prometacina. No obstante, la diferencia es significativa con la dosis alta (Ureñizá y Rojas-Ramírez, 1985b ver anécdote 10).

Es posible que los efectos aquí descritos, la conducta excitatoria, el aumento de la vigilia son reflejo de la presentación del sueño y la fragmentación del ciclo vigilia-sueño se deban a un componente estimulante central. A este respecto, debe mencionarse que estos fármacos poseen propiedades anticolinérgicas (Bonstane, 1980), antiserotonínicas (Rosáz et al., 1981) y de retención adrenérgica (Jori, 1966). Posiblemente el conjunto de las acciones disociadas por estos antihistamínicos pueden producir alteraciones cognitivas que desequilibren los mecanismos del sueño en esta especie. Se ha

postulado que la serotonina participa en los mecanismos de las fases de sueño no MOR y MOR (Jouvet, 1972). Al parecer, los sistemas colinérgicos participan en el sueño MOR (Sitterman et al., 1978). Las catecolaminas y la histamina desempeñan un papel importante en la vigilia (Schwartz et al., 1980).

Desde el punto de vista de la caracterización de los antihistamínicos H1 empleando el ciclo vigilia-sueño de la rata, pudo decirse que los resultados obtenidos con los tres compuestos, los cuales aumentaron la vigilia disminuyeron el sueño e desaceleraron el ciclo, fueron similares. De esto se deriva que este efecto podría ser de utilidad para identificar esta clase de fármacos. Además, los registros EEG son reproducibles si sus encuentros son similares cuando se administra solución salina súper en diferentes eroces del año (Ver anéndice V).

En conclusión, de los antihistamínicos estudiados, solamente la prometacina indujo un estado conductual parecido a la sedación. Este efecto no se pudo corroborar con la difenhidramina un antihistamínico con el cual frecuentemente se reporta en la clínica este efecto colesterol, Probablemente por las dosis empleadas.

APENDICE I

SIGLAS	SIGNIFICADO
ADC	ADENILATO CICLASA
AMPc	ADENOSIN MONOFOSFATO
CF	CAMBIOS DE FASE
CFA	CLOROFENIRAMINA
CSMOR	CICLOS DE SUEÑO MOR
DFH	DIFENHIDRAMINA
DPSLF	DURACION DE PERIODOS DE SUEÑO LENTO FARMACOLOGICO
DPSMOR	DURACION DE PERIODOS DE SUEÑO MOR
DPSNMOR	DURACION DE PERIODOS DE SUEÑO NO MOR
DPV	DURACION DE PERIODOS DE VIGILIA
EEG	ELECTROENCEFALOGRAMA
EMG	ELECTROMIOGRAMA
HA	HISTAMINA
HD	HISTIDINA DESCARBOXILASA
HMT	HISTAMINA METILTRANSFERASA
HPM	HAZ PROSENCEFALICO MEDIAL
LSLF	LATENCIA DE SUEÑO LENTO FARMACOLOGICO
LSMOR	LATENCIA DE SUEÑO MOR
LSNMOR	LATENCIA DE SUEÑO NO MOR
MPR	MEPIRAMINA
3HMPR	MEPIRAMINA TRITIADA
MTA	METIAMIDA
NPSLF	NUMERO DE PERIODOS DE SUEÑO LENTO FARMACOLOGICO
NPSMOR	NUMERO DE PERIODOS DE SUEÑO MOR
NPSNMOR	NUMERO DE PERIODOS DE SUEÑO NO MOR
NPV	NUMERO DE PERIODOS DE VIGILIA
PMT	PROMETACINA
SLF	SUEÑO LENTO FARMACOLOGICO
SMOR	SUEÑO CON MOVIMIENTOS OCULARES RAPIDOS
SNMOR	SUEÑO SIN MOVIMIENTOS OCULARES RAPIDOS
SNC	SISTEMA NERVIOSO CENTRAL
TSMOR	TIEMPO DE SUEÑO MOR
TSNMOR	TIEMPO DE SUEÑO NO MOR
TTS	TIEMPO TOTAL DE SUEÑO
TTV	TIEMPO TOTAL DE VIGILIA
TVI	TIEMPO DE VIGILIA INTERMITENTE

APENDICE II. PROMEDIOS (+D.E., E.E.) DE VARIOS PARAMETROS DEL SUEÑO DE LA RATA, BAJO LAS CONDICIONES DE CONTROL Y DIFENHIDRAMINA, n=31.

PARAMETRO	VEHICULO	4 MG/KG	12 MG/KG	36 MG/KG
TTS	246.13(28±3)	244.61(40±7)	237.19(36±6)	169.81(32±6)
TVL	72.45(16±3)	79.81(33±6)	81.81(26±5)	60.52(25±4)
TSNMOR	225.10(26±5)	224.68(37±7)	223.13(32±6)	160.87(29±5)
TSMOR	21.03(10±2)	19.94(9±2)	17.29(9±2)	9.03(6±1)
LSNMOR	34.35(22±4)	33.77(26±5)	34.48(45±8)	121.35(45±8)
LSMOR	58.48(37±7)	80.71(71±13)	108.87(68±12)	223.71(78±14)
NoPV	12.39(5±.9)	12.23(4±.7)	13.23(4±.7)	8.84(3±.6)
DPV	6.58(2±.4)	6.69(3±.5)	6.25(2±.3)	7.39(3±.5)
NoPSNMOR	23.10(6±1)	21.97(5±.8)	22.13(5±.8)	13.45(4±.7)
DPSNMOR	10.58(3±.8)	10.65(3±.5)	10.37(3±.5)	12.47(3±.5)
NoPSMOR	12.32(6±1)	11.35(5±.9)	9.74(5±.8)	5.00(3±.5)
DPSMOR	1.71(.4±.07)	1.72(.3±.05)	1.86(.5±.08)	1.61(.6±.1)
CF	48.10(13±2)	45.90(10±2)	46.03(11±2)	27.58(8±1)
CSMOR	7.03(5±.9)	6.35(4±.8)	4.71(4±.6)	2.35(2±.4)

Datos del trabajo presentado en el VIII Congreso Nacional de Farmacología, 21-24 de marzo, 1984, Monterrey N.L., en donde cada una de las 31 ratas se sometió a un día de habituación y 4 días de registro; vehículo y tres dosis de difenhidramina.

APENDICE III. PROMEDIOS (+E.E.) DE VARIOS PARAMETROS DEL SUEÑO DE
 LA RATA, BAJO LAS CONDICIONES DE CONTROL Y CLOROPROFENPIRIDAMINA. LAS DIFEREN-
 CIAS SIGNIFICATIVAS SE ESTIMARON CON LA PRUEBA DE SCHEFFE, $\alpha(2)$, $n=8$.

PARAMETRO	VEHICULO	9 MG/KG	27 MG/KG	81 MG/KG
TTV	146.25 \pm 10.75	144.00 \pm 18.50	237.12 \pm 24.30 ^{dx, dy}	312.00 \pm 14.40 ^{dx, dy}
TTS	213.63 \pm 10.71	216.00 \pm 18.45	122.88 \pm 24.23 ^{ax, ay}	48.00 \pm 14.86 ^{dx, dy}
TVI	89.50 \pm 5.85	86.00 \pm 14.13	68.50 \pm 12.91	58.25 \pm 10.40
TSNMOR	193.50 \pm 9.53	201.38 \pm 16.66	120.50 \pm 23.23 ^{ay}	48.00 \pm 14.86 ^{dx, dy}
TSMOR	20.13 \pm 1.84	14.63 \pm 3.50	2.37 \pm 1.00 ^{dx, by}	0.00 ^{dx, ey}
LSNMOR	42.88 \pm 6.26	55.38 \pm 8.99	149.13 \pm 25.26 ^{bx, ay}	249.50 \pm 22.37 ^{dx, dy, az}
LSMOR	113.13 \pm 16.94	178.13 \pm 33.86	343.38 \pm 11.83 ^{dx, dy}	360.00 ^{dx, dy}
NoPV	15.38 \pm 1.38	17.00 \pm 2.10	9.88 \pm 1.59	7.25 \pm 1.16 ^{ax, cy}
DPV	6.31 \pm 0.84	4.95 \pm 0.39	6.62 \pm 1.14	8.40 \pm 1.38
NoPSNMOR	22.74 \pm 1.44	21.25 \pm 1.93	10.13 \pm 1.80 ^{dx, cy}	6.63 \pm 1.24 ^{dx, dy}
DPSNMOR	8.73 \pm 0.71	10.41 \pm 1.80	11.98 \pm 1.40	6.04 \pm 1.02 ^{az}
NoPSMOR	10.63 \pm 0.98	6.88 \pm 1.53	1.00 \pm 0.90 ^{dx, by}	0.00 ^{dx, cy}
DPSMOR	1.91 \pm 0.90	2.01 \pm 0.81	0.61 \pm 0.40 ^{bx, cy}	0.00 ^{dx, dy}
CF	47.65 \pm 2.92	43.75 \pm 3.92	20.00 \pm 3.60 ^{dx, dy}	12.88 \pm 1.39 ^{dx, dy}
CSMOR	5.88 \pm 1.01	3.38 \pm 1.22	3.38 \pm 1.22 ^{cx}	0.00 ^{dx}

En donde a= $P<0.05$; b= $P<0.01$; c= $P<0.005$; d= $P<0.001$. La x, diferente de
 vehículo; y, diferente de dosis baja; x, diferente de dosis intermedia.

APENDICE IV. PROMEDIOS(+E.E.) DE VARIOS PARAMETROS DEL SUEÑO
 DE LA RATA, BAJO LAS CONDICIONES DE CONTROL Y PROMETACINA. LAS DIFERENCIAS
 SIGNIFICATIVAS SE ESTIMARON CON UN ANALISIS DE VARIANZA CON UN CRETTERIO DE
 CLASIFICACION SEGUIDO POR LAPRUEBA DE SCHEFFE, n=8.

PARAMETRO	VEHICULO	10 MG/KG	20 MG/KG	40 MG/KG
TTS	246.88(+8.56)	249.88(+10.82)	211.75(+17.17)	166.13(+10.55) ^{cx,cy,bz}
TSNMOR	234.13(+7.04)	234.00(+17.82)	205.63(+15.05)	166.13(+10.55) ^{dx,dy,bz}
TSMOR	15.13(+1.77)	15.75(+ 3.93)	6.13(+ 2.44)	0.0 ^{dx,by}
TVI	89.63(+11.12)	884.88(+10.72)	119.75(+13.94) ^{ax,ay}	284.00(+17.30) ^{cx,cy,az}
LSNMOR	21.25(+4.09)	22.13(+ 3.28)	27.13(+ 6.75)	241.00(+15.45) ^{dx,dy,dz}
LSMOR	117.75(+10.76)	197.00(+12.03)	263.38(+34.67) ^{bx}	360.00(+) ^{dx,ey,bz}
NoPSNMOR	23.25(+ 1.49)	21.38(+ 1.91)	22.13(+ 1.88)	36.38(+ 1.73) ^{dx,dy,dz}
DPSNMOR	10.28(+ 0.58)	11.69(+ 1.23)	9.76(+ 1.07)	10.44(+ 0.80)
NoPSMOR	8.75(+ 0.98)	7.25(+ 1.27)	3.50(+ 1.27)	0.0 ^{dx,dy}
DPSMOR	1.74(+ 0.12)	2.00(+ 0.23)	1.48(+ 0.25)	0.0 ^{dx,dy,dz}
NoPV	16.88(+ 0.99)	16.00(+ 2.20)	19.63(+ 1.84)	35.75(+ 1.74) ^{dx,dy,dz}
DPV	5.44(+ 0.72)	5.86(+ 0.92)	6.37(+ 0.99)	8.17(+ 0.78)
CF	47.88(+ 3.08)	43.63(+ 3.99)	44.25(+ 3.82)	70.50(+ 3.41) ^{dx,dy}
CSMOR	3.75(+ 0.62)	3.75(+ 1.31)	1.75(+ 0.92)	0.0

En donde a=P<0.05; b=P<0.01; c=P<0.00%; y d=P<0.001). La x, diferente del vehículo; y, diferente de dosis intermedia; y y, diferente de dosis alta.

APENDICE V. PROMEDIO(+E.E.) DE LAS VARIABLES DEL SUEÑO EEG DE LOS GRUPOS TRATADOS CON SOLUCION SALINA(1ml/kg), EN DIFERENTES MESES DEL AÑO.

VARIABLE	DIFENHIDRAMINA		PROFENPIRIDAMINA		CLOROFENIRAMINA		PROMETACINA
	SEP/OCT, 1983 n=31	SEP/OCT, 1983 n=8	JUL-AGO, 1984 n=8	SEP-OCT, 1984 n=8	SEP-OCT, 1984 n=8	NOV-DIC, 1984 n=8	
TTS	246.13 \pm 3	243.88 \pm 11	213.63 \pm 11	221.38 \pm 24	249.13 \pm 9		
TSNMOR	225.10 \pm 5	226.00 \pm 10	193.50 \pm 10	202.63 \pm 22	224.00 \pm 17		
TSMOR	21.03 \pm 2	18.00 \pm 3	20.13 \pm 2	18.75 \pm 3	15.13 \pm 2		
TVI	72.45 \pm 3	79.63 \pm 7	89.50 \pm 6	111.25 \pm 22	89.63 \pm 11		
LSNMOR	34.35 \pm 4	31.63 \pm 9	42.88 \pm 6	25.00 \pm 5	21.25 \pm 4		
LSMOR	60.48 \pm 7	73.88 \pm 9	113.13 \pm 17	130.63 \pm 30	117.75 \pm 11		
NPSNMOR	23.10 \pm 1	23.38 \pm 2	25.75 \pm 1	26.75 \pm 2	23.25 \pm 1		
DPSNMOR	10.58 \pm .8	10.40 \pm 1	8.70 \pm .7	7.65 \pm .9	10.28 \pm .6		
NPSMOR	12.32 \pm 1	10.38 \pm 2	10.63 \pm 1	11.13 \pm 2	8.75 \pm 1		
DPSMOR	1.71 \pm .1	1.70 \pm .1	1.91 \pm .1	1.61 \pm .1	1.74 \pm .1		
NPV	12.39 \pm .1	14.50 \pm 2	15.38 \pm 1	18.38 \pm 1	16.88 \pm 1		
DPV	6.58 \pm .4	5.79 \pm .1	6.33 \pm .1	6.28 \pm 1	5.44 \pm 11		
CF	48.10 \pm 2	48.88 \pm 3	55.25 \pm 5	47.75 \pm 3	47.88 \pm 3		
CSMOR	7.03 \pm .1	4.38 \pm 1	5.88 \pm 1	6.25 \pm 2	3.75 \pm .1		

BIBLIOGRAFIA.

1. Aceto MD, Harris IS. Effect of various agents on histamine induced blepharospasm. Toxicol Appl Pharmacol. 1945; 7:329-34.
2. Adam HA, Hsu HKA. Concentration of histamine in different parts of brain and perfusion of rat and its modification by drugs. Br J Pharmac Chemother. 1955; 98:137-52.
3. Anderson FG, Heas HI, Hordi I. Comparison of effects of noradrenalin and histamine with ouabain AM on brain stem neurones. Brain Res. 1973; 49:1471-5.
4. Ash ASF, Schild HO. Receptors mediating snake actions of histamine. Br J Pharmac Chemother. 1946; 17:197-39.
5. Baldessarini RJ. Drugs and treatment of psychotinic disorders. Goodman and Gilman: The pharmacological basis of therapeutics. Six ed. The MacMillan Pub Co Inc. New York. 1980; pp.391-447.
6. Barbin G, Hirsch JC, Garbard M, Schwartz JC. Increase in histamine content and decarboxylase activities in an isolated area of the central cortex of the cat. Brain Res. 1975; 99:120-4.
7. Barbin G, Garbard M, Schwartz JC, Skornik Meldrum J. Histamine synthesizing afferents to the hippocampal region. J Neurophys. 1976; 26:259-63.

HIBI INGRAFTA

8. Barnett A, Tahor RJ, Roth EF. Activity of antihistamines in laboratory antidepressant tests. *Int J Neuropharmacol.* 1969; 8:73-9.
9. Baudry M, Martres MP, Schwartz JC. The subcellular localization of histidine decarboxylase in various regions of rat brain. *J Neurochem.* 1973a; 21:1301-9.
10. Baudry M, Chast F, Schwartz JC. Studies on S-adenosylhomocysteine inhibition on histamine transmethylation in brain. *J Neurochem.* 1973b; 20:13-21.
11. Baudry M, Martres MP, Schwartz JC. Studies on the biosynthesis and localization of histamine in the developing rat brain. *Adolesc Actions.* 1974; 4/5:192.
12. Baudry M, Martres MP, Schwartz JC. H₁ and H₂ receptors in the histamine-induced accumulations of cyclic AMP in *Silene vis* brain slices. *Nature.* 1975; 255:342-3.
13. Black JW, Duncan WAH, Durant DJ, Gamble CR, Parsons EM. Definition and antagonism of histamine H₂-receptors. *Nature.* 1972; 236:90.
14. Bovet D, Kohn R, Merello M, Silvestrini R. Some effects of histamine in the normal and hemophiliac pertussis-vaccinated rat. *Brit J Pharmacol.* 1958; 13:74-83.

BIBLIOGRAPHIA

15. Brimble MJ, Wallis DJ. Histamine H₁ and H₂-receptors at salsolinic synthase. *Nature*, 1973; 246(16):156-8.
16. Carette R. Responses of preoptic-serval neurons to iontophoretically applied histamine. *Brain Res*, 1978; 145:391-5.
17. Carlini EA, Green JP. The subcellular distribution of histamine, slow reacting substance and 5-hydroxytryptamine in the brain of the rat. *Brit J Pharmacol*, 1963; 20:264-77.
18. Carlton PL, Didurko P. Augmentation of the behavioural effects of amphetamine by atropine. *J Pharmacol Exp Ther*, 1961; 132:191-6.
19. Carpenter DO, Gauthier RI. H₁ and H₂ histamine receptors on Aplysia neurons. *Nature*, 1975; 251:1743-4.
20. Carruthers SG, Sherman HK, Shignite CHF, Anderson DR. Correlation between plasma dihydroxyphenylalanine level and sedative and antihistaminic effects. *Clin Pharmacol Ther*, 1978; 23:1375-80.
21. Clarke CH, Nicholson AN. Performance studies with antidiastamines. *Br J Clin Pharmac*, 1978; 6:131-5.
22. Clark RB, Perkins JP. Regulation of adenosine-3'5'-cyclic monophosphate concentration in cultured bovine adrenomedullary cells by catecholamines and histamine. *Proc Nat Acad Sci(USA)*, 1971; 68:(11):2757-60.

23. Coons AH. Symposium on membranes in growth, differentiation and neoplasia. *Fed Proc.* 1973; 32:334.
24. Crutcher JF, Kandtner TR. The effectiveness of antihistamines in the common cold. *J Clin Pharmacol.* 1981; 21:9-15.
25. Chang RSL, Tran VT, Snyder SH. Histamine H1-receptors in brain labeled with ^3H -mepyramine. *Eur J Pharmacol.* 1978; 48:1463-47.
26. Chang RSL, Tran VT, Snyder SH. Heterogeneity of histamine H1-receptors: Species variations in (^3H) -mepyramine binding of brain membranes. *J Neurochem.* 1979; 30:1653-63.
27. Chasin M, Mannik P, Samanidou SG, Hess BM. Characteristics of catecholamine and histamine receptor sites mediating stimulation of cyclic adenosine 3'5'monophosphate in cultures of bovine fetal neuroblastoma cells. *J Neurochem.* 1973; 21:1415-22.
28. Chen G, Russell D. A quantitative study of blood pressure response to cardiovascular drugs and their antagonists. *J Pharmacol Exp Ther.* 1950; 99:401-8.
29. Dale HH, Laidlow PP. The physiognostical action of β -iminoazolyethylamine. *J Physiol.* 1910; 41:319-44.
30. Disminukas RK, Ghosh P, Chevallier CR, Weller JW. Norepinephrine depletion and responsiveness of norepinephrine-sensitive cyclic AMP generating systems in cultured pig brain. *Eur Neurop.* 1976; 52:206-15.

BIBLIOGRAFIA

31. Domino EF, Hudson RD. Observations on the pharmacological actions of the isomers of atropine. *J. Pharmacol. Exp. Ther.* 1959; 127:305-312.
32. Douglas MM. Histamine and 5-hydroxytryptamine(serotonin) and their antagonists. Godfrain and Gilman: The pharmacological basis of therapeutics. Six ed. The MacMillan Pub. Co. Inc., New York, 1980; pp.609-44.
33. Broff JJ. Mast cells in the central nervous system of several rodents. *Anat Rec.* 1972; 174:227-38.
34. Feinberg SM, Friedlsender S. Histamine antagonists. IV. Pyridil-N'benzyl-N'-dimethylethylenediamine(niribenzamine) in symptomatic treatment of allergic manifestations. *Amer J Med Sci.* 1947; 213:58-60.
35. Friedlsender S, Feinberg SM, Feinberg AR. Histamine antagonists VI. comparative antihistaminic activity of some ethylenediamine drugs in the guinea pig. *J Lab Clin Med.* 1947; 32:47-56.
36. Friedman AH, Macker CHA. Circadian rhythms in rat midbrain and caudate nucleus biogenic amine levels. *J. Physiol.* 1968; 197:77-85.
37. Gerbers M, Krishnamoorthy MS, Feder J, Schwartz JC. Effects of mesencephalic and hypothalamic lesions on histamine levels in rat brain. *Brain Res.* 1973; 50:361-7.

BIBLIOGRAFIA

38. Garbars M, Barbin G, Fester Jr, Schwartz JC. Histaminergic pathways in rat brain evidenced by lesions of the medial forebrain bundle. *Science*, 1974; 186:837-4.
39. Garbars M, Barbin G, Bischoff S, Pollard H, Schwartz JC. Evidence for a specific decarboxylase involved in histamine synthesis in an ascending pathway in rat brain. *Agents Actions*, 1974; 4/8:181.
40. Garbars M, Houyres M, Benda P, Schwartz JC. Simultaneous presence of histamine-N-methyltransferase and catechol-O-methyltransferase in neuronal and glial cells in culture. *Brain Res*, 1975; 83:538-41.
41. Garbars M, Barbin G, Bischoff S, Pollard H, Schwartz JC. Dual localization of histamine in an ascending commissal pathway and in non-neuronal cells evidenced by lesions in the mid-tuber-hemothalamic area. *Brain Res*, 1975; 105:333-48.
42. Garbars M, Barbin G, Palacios JMS, Schwartz JC. Effects of Kainic acid on histaminergic systems in guinea pig hippocampus. *Brain Res*, 1978; 150:638-41.
43. Goller HM. Effects of some putative neuromodulators on unit activity of tuberal-hypothalamic neurons in vitro. *Brain Res*, 1976; 108:423-30.
44. Goldstein I, Pfeiffer CC, Muñoz R. Quantitative FEG analysis of the stimulant properties of histamine derivatives. *Fed Proc*, 1963; 22:424.

BIBLIOGRAFIA

45. Goldstein L, Murhree HB, Pfeiffer CH. Comparative study of EEG effects of antihistamines in normal volunteers. *J Clin Pharmacol.* 1968; 8:42-53.
46. Green JP, Meusani S. Tricyclic antidepressant drugs block histamine H₂ receptor in brain. *Nature.* 1972; 238:143-145.
47. Graul JE, Weinreich D. Two pharmacologically distinct histamine receptors mediating histamine hyperpolarizations on identified neurons of *Acetabularia californica*. *Brain Res.* 1979; 162:281-301.
48. Haas HL, Anderson EG, Hollali I. Histamine and meteholitoxin. Their effects and interactions with convulsants on brain stem neurones. *Brain Res.* 1974; 51:169-78.
49. Haas HL, Bucher UM. Histamine H₂-receptors on single central neurones. *Nature.* 1975; 255:634-5.
50. Haas HL, Wolf P, Nussbaum JC. Histamine: Actions on supraoptic and other hypothalamic neurons of the cat. *Brain Res.* 1975; 88:166-70.
51. Haas HL, Wolf P. Central actions of histamine. Microelectrophoretic studies. *Brain Res.* 1977; 123:269-79.
52. Haas HL, Wolf P, Palacios JM, Barbero M, Berbin G, Schwartz JC. Hypersensitivity to histamine in the Guinea-pig brain. 1978; 156:275-91.

HTH JOURNAL

53. Hawkins SF. Bronchoconstrictor and bronchodilator actions of antihistaminic drugs. *Brit J Pharmacol*. 1965; 10:230-9.
54. Heinrich MA. The effect of the antihistamine drugs on the central nervous system in rats and mice. *Arch Int Pharmacodyn*. 1953; XCII, No.3-4:444-63.
55. Heström LR, Kanof HJ, Greenberg P. Histamine-sensitive adenylyl cyclase in mammalian brain. *Nature*. 1976; 260:1143-5.
56. Hill SJ, Young JM, Marrian RH. Specific binding of ³H-mepyramine to histamine H₁ receptors in intestinal smooth muscle. *Nature*. 1977; 270:341-2.
57. Hill SJ, Young JM. Evidence for the presence of histamine H₁-receptors in guinea-pig brain. *Br J Pharmacol*. 1978; 63:391-5.
58. Hill SJ, Emerson PC, Young JM. The binding of ³H-mepyramine to histamine H₁ receptors in guinea-pig brain. *J Neurochem*. 1978; 31:997-1004.
59. Hill SJ, Baum P, Young JM. Affinities of histamine H₁ antagonists in guinea-pig brain: Similarity of values determined from inhibitions of a functional response. *J Neurochem*. 1981; 37(5):1357-60.
60. Hough LB, Khandelwal UK, Braun JP. Ontogenetic and regional distribution of rat brain telemethylhistamine. *J Neurochem*. 1982; 38:1593-9.

RIBI JOURNAL

61. Hughes FW, Forney RH. Comparative effect of three antihistamines and ethanol on motor performance. *Clin Pharmacol Ther.* 1964; 5(4):414-21.
62. Ibrahim MZM. The mast cells of the mammalian central nervous system. Part I. Morphology, distribution and histochemistry. *J Neurol Sci.* 1974; 21:431-78.
63. Innes IR. Sensitization of the heart and aortic membrane of the cat to sympathomimetic amines by antihistamine drugs. *Brit J Pharmacol.* 1958; 13:6-10.
64. Isaac I, Roth A. The mechanism of the potentiation of norepinephrine by antihistamines. *J Pharmacol Exp Ther.* 1962; 156:463-8.
65. Jarrott B, Helle JJ, Spector S. Association of histamine with cerebral microvessels in regions of bovine brain. *Brain Res.* 1979; 168:323-30.
66. Jewett RE. Effects of promethazine on sleep studies in the cat. *Exp Neurol.* 1969; 21:348-59.
67. Jewett RE. The effects of selected phenothiazines on the sleep of cats. *Arch Int Pharmacodyn.* 1971; 193:330-9.
68. Johnson GL, Kahn JB. Cocaine and antihistamine compounds. Comparison of effects of some cardiovascular actions of norepinephrine, cocaine and bretylium. *J Pharmacol Exp Ther.* 1966; 152:458-69.

BTBII (BIBRAFIA)

69. Jones H, Bradley PB, Roberts F. Excitatory effects of microiontophoretically applied histamine in the rat medulla may be mediated via histamine H₂ receptors. *Br J Pharmacol.* 1983; 79:282P.
70. Jori A. Potentiation of noradrenaline toxicity by drugs with antihistamine activity. *J Pharm Pharmacol.* 1964; 16:824.
71. Joó F, Rakonczay Z, Wolleben M. cAMP-modulated oscillations of the permeability in the brain capillaries. *Experientia.* 1975; 31/5:582-4.
72. Jouvet M. The role of monoamines and acetyl choline-containing neurons in the regulation of the Siger-waking cycle. *Eur J Physiol.* 1972; 44:165-202.
73. Kales J, Linton T, Suerlinde P, Kales AJ. Are over-the-counter sleep medications effective? All-night EEG studies. *Curr Ther Res.* 1971; 13:143-51.
74. Kalivas PW. Histamine-induced arousal in the conscious and pentobarbital-anesthetized rat. *J Pharmacol Exp Ther.* 1982; 222(1):37-42.
75. Karmushina II, Palacios MR, Bondon G, Bustos E, Jofré F, Schwartz JC. Studies on a capillary-rich fraction isolated from brain histaminic components and characteristics of the histamine receptors linked to adenyl cyclase. *J Neurochem.* 1980; 34(5):1201-8.

HIBLINGRAFTA

76. Kataoka K, De Robertis E. Histamine in isolated small nerve endings and synaptic vesicles of rat brain cortex. *J Pharmacol Exp Ther.* 1967; 156:114-25.
77. Kenakin TP, Kruerger Car Cooks WA. Temperature-dependent interconversion of histamine H₁ and H₂ receptors in guinea pig ileum. *Nature.* 1974; 252:54-5.
78. Kerkut GZ, Walker RD, Woodruff GN. The effects of histamine and other naturally occurring imidazoles on neurones of Helix aspersa. *Br J Pharmac Chemother.* 1968; 32:241-52.
79. Krishnamoorthy RS, Garbers M, Feder J, Schwartz JC. Augmentation in hypothalamic histamine induced by diencephalic lesions in rats. *Agents Actions.* 1973; 3/21121.
80. Krnjević K, Phillips JH. Actions of certain amines on cerebral cortical neurones. *Brit J Pharmacol.* 1962; 20:471-69.
81. Kwiatkowski H. Histamine in nervous tissue. *J Physiol.* 1948; 102:32-41.
82. Lands AM, Horne JO, Siegmund MH, Ludwigs FP. The pharmacological properties of three new antihistaminic drugs. *J Pharmacol Exp Ther.* 1948; 90:45-52.
83. Large AT, Waste GE, Turner P. Promethazine on hand-eye-coordinations and visual function. *J Pharm Pharmacol.* 1971; 23:134-5.

RTBI INGRAFTA

84. Levine RR. General principles of the quantitative aspects of drug actions; Dose response relationships. *Pharmacologist: Drug Actions and reactions*, 2nd ed. Little Brown & Co., Boston, 1978; pp.169-97.
85. Lichtenstein LM, Gillespie E. The effects of the H₁ and H₂ antihistamines on 'allergic' histamine release and its inhibition by histamine. *J Pharmacol Exp Ther.* 1975; 192(2):441-50.
86. Lilienfield LS, Rose JC, Princiotto JV. Antitussive activity of diphenhydramine in chronic cough. *Clin Pharmacol Ther.* 1974; 19:421-5.
87. Lipinski DK, Schaumburg HH, Baldassarri R.L. Regional distribution of histamine in human brain. *Brain Res.* 1973; 52:403-8.
88. Loew E, MacMillan R, Kaiser M. The anti-histamine properties of benadryl, N-dimethylaminoethyl benzohydryl ether hydrochloride. *J Pharmacol Exp Ther.* 1946; 86:229-38.
89. Loew ER. Pharmacology of antihistamine compounds. *Physiol Rev.* 1947; 27:542-73.
90. Molson GR, Mackay JA, Smart DJ, Turner P. Effect of promethazine hydrochloride on hand-eye co-ordination. *Nature.* 1965; 209(5162):

RIBLIOGRAFIJA

91. Marshall PR. Some chemical (and physical) properties associated with histamine anticholinism. *Brit J Pharmacol.* 1955; 10:270-8.
92. Martres MP, Baudry M, Schwartz JC. Histamine synthesis in the developing rat brain: evidence for a multiple compartmentation. *Brain Res.* 1975; 83:261-275.
93. Matsuda Y, Matsuda Y, Blatherow B, Love MN. The effects of cocaine, chlorpheniramine and triprolidine on the cardiac responses to sympathetic nerve stimulation. *Eur J Pharmacol.* 1980; 63:25-33.
94. Merica H, Gaillard JM. Statistical description and evaluation of the interrelationships of slender sleep variables for normal subjects. *Sleep.* 1985; 8(3):261-73.
95. Michaelson JA, Wittkower UM. The subcellular distribution of histamine in guinea pig brain. *Biochem J.* 1982; 84:31s.
96. Michaelson JA, Dowe G. The subcellular distribution of histamine in brain tissue. *Biochem Pharmacol.* 1963; 12:949-954.
97. Monnier M, Sauer R, Halt AM. The activating effect of histamine on the central nervous system. *Int Rev Neurobiol.* 1970; 12:265-305.
98. Nahorski SR, Rogers KJ, Smith BM. Histamine H₂ receptors and cyclic AMP in brain. *Life Sci.* 1974; 15(11):1887-94.

BTHI TONGRAFTA

99. Nahorski SR, Rogers KJ, Smith RM. Stimulation of cyclic adenosine 3'5'-monophosphate in chick cerebral hemispheric slices: effects of H₁ and H₂ histaminergic agonists and antagonists. *Brain Res.* 1977; 126:389-90.
100. Netter JK, Bodenbachatz K. Inhibition of histamine-N-methylation by some antihistamines. *Biochem Pharmacol.* 1967; 16:1627-31.
101. Newlands WL. The effect of zemelene on antihistamine-induced drowsiness. *Practitioner.* 1980; 224:1199-1201.
102. Nicholson AN. Effect of the antihistamines, brompheniramine maleate and triprolidine hydrochloride, on performance in man. *Br J Clin Pharmac.* 1979; 8:391-4.
103. Nicholson AN, Fawcett PA, Stone RM. Histamine H₁-antagonists and sleep studies in man with H₁ and H₂ antagonists. *Neuropharmacol.* 1985; 24(3):245-50.
104. Orr E, Quay WB. Hypothalamic 24-hour rhythms in histidine histidine decarboxylase and histamine-N-methyltransferase. *Endocrinol.* 1975; 96(4):941-5.
105. Palacios JM, Barbero M, Barbin G, Schenck JC. Pharmacological characterization of histamine receptors mediating the stimulation of cyclic AMP accumulation in slices from guinea-pig hippocampus. *Mol Pharmacol.* 1978; 14:971-82.

106. Palacios JM, Young WE, Kuhr M. Autoradiographic localization of H₁-histamine receptors in brain using ³H-mepyramine: preliminary studies. *Eur J Pharmacol.* 1979; 58:295-304.
107. Phillis JW, Tebecis AK, York JH. Histamine and some antihistamines: their actions on cerebral cortical neurones. *Br J Pharmac Chemother.* 1948; 33:426-40.
108. Pollard H, Bischoff S, Schwartz JC. Decarboxylase histamine synthesis in the rat brain by barbiturates and anesthetics. *J Pharm Pharmacol.* 1973a; 25:920-2.
109. Pollard H, Bischoff S, Schwartz JC. Modifications of brain H₁ metabolism induced by antihistamines. *Actions Actions.* 1973b; 3/3:190-1.
110. Pollard H, Bischoff S, Schwartz JC. Turnover of histamine in rat brain and its decrease under barbiturate anesthesia. *J Pharmacol Exp Ther.* 1974; 190(1):88-99.
111. Pollard H, Lloren-Cortes C, Schwartz JC. Histidine decarboxylase and histamine in discrete regions of rat hypothalamus and the evidence for mast-cells in the median eminence. *Brain Res.* 1976; 118:509-13.
112. Pollard H, Lloren-Cortes C, Barbin G, Garfield R, Schwartz JC. Histamine and histidine decarboxylase in brain stem: regional distribution and decrease after lesions. *Ricin Rec.* 1978; 157:178-81.

RIBLIGRAFIA

113. Portaleone O, Pasinetti G, Cisanello A, Bonazzoni F. Histamine sensitive adenylate cyclase in hypothalamus of rat brain: H1 and H2 receptors. *J Neurochem.* 1978; 31:1321-4.
114. Quach TT, Buchemin AM, Rose CR, Schwartz JC. Labeling of histamine H1-receptors in the brain of the living mouse. *Neurosci Lett.* 1980; 17:49-54.
115. Rensud JP. Histamine microiontophoresis on identified hypothalamic neurons: X patterns of response in the ventromedial nucleus of the rat. *Brain Res.* 1976; 119:369-44.
116. Reuse JJ. Comparisons of various histamine antagonists. *Brit J Pharmacol.* 1948; 3:174-80.
117. Richelson E. Histamine H1 receptor-mediated fluorescence 3'5'-monophosphate formation by cultured mouse neuroblastoma cells. *Science.* 1978a; 201:69-71.
118. Richelson E. Tricyclic antidepressants block histamine H1 receptors of mouse neuroblastoma cells. *Nature.* 1978b; 274:176-7.
119. Rickels K, Morris RJ, Neiman H, Rosenfeldt HF, Schiller HR, Weiszstock R. Diphenhydramine in insomnia: family practice patients: a double-blind study. *J Clin Pharmacol.* 1983; 23:1335-42.

BIBLIOGRAFIA

120. Riebers AM, Richards JV, Inverarity LH. Effects of promethazine on nocturnal sleep in normal man. *Psychopharmacologia(Berl)*. 1975; 43:279-84.
121. Rochrs TA, Tietz FJ, Zarick PJ, Roth T. Daytime sleepiness and antihistamines. *Sleep*. 1984; 7(2):137-41.
122. Rogers M, Bicominikis K, Daley JW. Histamine-elicited accumulations of cyclic adenosine 3'5'-monophosphate in guinea-pig brain:selective effect of H1 and H2 antagonists. *J Neurochem*. 1975; 25:1581-4.
123. Rosdó Z, Skurna B, Sowinska H. The effect of the antihistaminic drugs on the central action of 5-hydroxytryptophan in mice. *Pol J Pharmacol Pharm*. 1981; 33:459-65.
124. Rojas-Ramirez JA, Utrillas MM. Modificaciones del efecto visilia-sueño en la rata producidos por antihistamínicos. III. profenoxiridamina. *Memorias Del XXVII Congreso Nacional de Ciencias Fisiológicas*, del 11 al 16 de Agosto de 1985. Puebla Pueb. resumen No. 53.
125. Romberg A, Edvinsson L, Larsson LI, Nielsen KO, Blumen OH. Regional variations in the presence of mast cells in the mammalian brain. *Agents Actions*. 1973; 3/4:191.
126. Roth FE, Govier MM. Comparative Pharmacology of chlorpheniramine(Chlor-trimeton) and its related isomers. *J Pharmacol Exp Ther*. 1958; 124:347-9.

127. Ruddy S, Bigli T, Austen KF. The complement system of man (first of four parts). *New Eng J Med.* 1972; 287:489-94.
128. Schayer RW, Reilly MA. Formation and fate of histamine in rat and mouse brain. *J Pharmacol Exp Ther.* 1973; 184(1):33-40.
129. Schayer RW. Histamine Methylation in vivo and in vitro. *Agents Actions.* 1974; 4/3:185-6.
130. Schultz Jr, Dals JW. Cyclic adenosine 3'5'-monophosphate in suinea-pis cerebral cortical slices. *J Biol Chem.* 1973; 248(3):843-52.
131. Schwartz JC, Lamart C, Rose C, Renault MC, Bischhoff S., Pollard H. Histamine formation in rat brain during development. *J Neurochem.* 1971; 18:1787-9.
132. Schwartz JC. Minireview: histamine as a transmitter in brains. *Life Sci.* 1975; 17:503-18.
133. Schwartz JC, Barbin G, Garbard M, Pollard H, Rose C, Verdier M. Neurochemical evidence for histamine acting as a transmitter in mammalian brain. *Adv Biochem Psychopharmac.* 1974; 15:111-26.
134. Schwartz JC. Histaminergic mechanism in brain. *Annu Rev Pharmacol Toxicol.* 1977; 17:325-39.
135. Schwartz JC. Minireview: Histamine receptors in brains. *Life Sci.* 1979; 25:895-912.

RIBI TOSGRAFTA

136. Schwartz JC, Pollard H, Quach TH. Histamine as a neurotransmitter in mammalian brain: neurochemical evidence. *J Neurochem.* 1980; 35:26-33.
137. Seppala T, Noutto E, Korttila K. Single and repeated dose comparison on three antihistamines and chloralose-morphenamine: psychomotor performance and subjective appraisals of sleep. *Br J Clin Pharmac.* 1981; 12:179-88.
138. Sherrod TR, Loew FR, Schlormer HF. Pharmacological properties of antihistamine drugs, benedryl, pyribenzamine and heparidol. *J Pharmacol Exp Ther.* 1947; 89:247-55.
139. Siteram N, Moore AM, Gillin JCh. Experimental acceleration and slowing of REM sleep induced by cholinergic agonist and antagonist. *Nature.* 1978; 274:480-2.
140. Snyder SH, Glowinski J, Axelrod J. The pharmacologic disposition of ³H-histamine in the rat brain. *J Pharmacol Exp Ther.* 1966; 153(1):8-14.
141. Snyder SH, Brown B, Kuhr M. The subcellular localization of histamine, histidine decarboxylase and histamine methyltransferase in rat hypothalamus. *J Neurochem.* 1974; 23:237-45.
142. Stecher PG. The Merck Index of Chemical and Drugs (10th ed.). Merck and Co Inc. Rahway, N.J., U.S.A. 1983.

BTBLINGRAFIA

143. Study RF, Greengard P. Regulation by histamine of cyclic nucleotide levels in sympathetic ganglia. *J Pharmacol Exp Ther.* 1978; 207(3):767-78.
144. Subramanian N, Mudler AH. Potassium induced release of tritiated histamine from rat brain tissue slices. *Eur J Pharmacol.* 1976; 35:203-6.
145. Sunshine A, Sishelboim T, Laska E. Hemodic activity of diethyldihydramine, metharidrilene and fluclozine. *J Clin Pharmacol.* 1978; 18(8-9):425-31.
146. Taylor KM, Snyder SH. Histamine in rat brain: sensitive assay of endogenous levels, formation in vivo and lowering by inhibitors of histidine decarboxylase. *J Pharmacol Exp Ther.* 1971; 173(3):619-34.
147. Taylor KM, Snyder SH. Brain histamine: rapid apparent turnover altered by restraint and cold stress. *Science.* 1971; 172:1037-9.
148. Taylor KM, Snyder SH. Tissue microassay of histamine, histidine, L-histidine decarboxylase and L-histidine methyl-transferase in brain tissue. *J Neurochem.* 1972a; 19:1343-58.
149. Taylor KM, Snyder SH. Dynamics of the regulations of histamine levels in mouse brain. *J Neurochem.* 1972b; 19:1342-54.

BIBLIOGRAFIA

150. Taylor KM, Giller E, Snyder SH. - Regional localization of histamine and histidine in the brain of the rhesus monkey. Brain Res. 1972; 41:171-9.
151. Taylor KM, Snyder SH. The release of histamine from tissue slices of rat hypothalamus. J Neurochem. 1973; 21:1215-23.
152. Teutsch G, Mahler W, Brown SS, Forrest WS, Adams KF, Brown BW. Hypnotic efficacy of dihydroxydramine, methamphetamine and pentobarbital. Clin Pharmacol Ther. 1975; 17:195-201.
153. Tran VT, Cheng RSL, Snyder SH. Histamine H1 receptors identified in mammalian brain membranes with (3H)-mecamazine. Proc Natl Acad Sci (USA). 1978; 75(12):6290-94.
154. Uruiz M, Rojas-Ramirez JA. Modificaciones del ciclo visilio-sueño en la rata producidas por antihistamínicos: I. Difenhidramina. Memorias del VIII Congreso Nacional de Farmacología del 21 al 24 de Marzo de 1984. Monterrey N.L., pp.133.
155. Uruiz MH, Rojas-Ramirez JA. Modificaciones del ciclo visilio-sueño en la rata producidas por antihistamínicos: II. Prometsacina. Memorias del XXVII Congreso Nacional de Ciencias Fisiológicas, del 11 al 14 de Agosto de 1985. Puebla, Pueb. resumen No.51.

156. Uzan A, Le Fur G, Malsouris Ch. Are antihistamines sedative via a blockade of brain H1 receptors? J Pharm Pharmacol. 1979; 31:701-2.
157. Verdieri M, Rose C, Schwartz JC. Synthesis and release of 3H-histamine in slices from rat brain. Agents Actions. 1974; 4/3:184-5.
158. Verdieri M, Rose CH, Schwartz JC. Synthesis and release of histamine studied on slices from rat hypothalamus. Eur J Pharmacol. 1975; 34:157-68.
159. Verdieri M, Rose CH, Schwartz JC. Turnover of cerebral histamine in a stressful situation. Brain Res. 1977; 129:107-19.
160. Matsuzaki T, Tsuchi Y, Shinozaki S, Tanaka J, Kubota H, Itohara Y, Tohyama M, Wada H. Distribution of the histaminergic neuron system in the central nervous system of mice: a fluorescent immunohistochemical analysis with histidine decarboxylase as a marker. Brain Res. 1981; 225:13-25.
161. Wanquier A, Van Den Broek MAJ, Aartsens F, Janssen PAJ. A comparison between astemizole and other antihistamines on sleep-wakefulness cycles in dogs. Neuropharmacol. 1981; 20:1853-9.
162. Weinreich D. Synaptic responses mediated by unidentified histamine-containing neurons. Nature. 1977; 267:854-5.

BIBLIOGRAFIA

163. Wells JV. Mecanismos inmunitarios de accións los tejidos: Immunología clínica, 3a.ed. Manual Moderno. México,D.F. 1982. pp.197-212.
164. White T. Formation and catabolism of histamine in cat brain in vivo. J Physiol. 1960; 152:299-308.
165. Wickler A. Pharmacologic dissociation of behavior and EEG "sleep patterns" in dogs: Morphine, N-methylmorphine, and stramonium. Proc Soc Exp Biol. 1952; 79:261-5.
166. Winter CHA. A study of comparative antihistaminic activity of six compounds. J Pharmacol Exp Ther. 1942; 90:224-32.
167. Wolf F, Monnier H. Electroencephalographic behavioral and visceral effects of intraventricular infusion of histamine in the rabbit. Agents Actions. 1973; 3/3:196.
168. Young AB, Pert CB, Brown DG, Taylor KM, Standaert GH. Nuclear localization of histamine in neonatal rat brain. Science. 1974; 173:247-8.